



OFICINA ESPAÑOLA DE PATENTES Y MARCAS

ESPAÑA



11) Número de publicación: 2 431 327

51 Int. Cl.:

C12N 1/36 (2006.01) C12N 1/20 (2006.01) A61K 39/12 (2006.01)

(12)

TRADUCCIÓN DE PATENTE EUROPEA

T3

Fecha de presentación y número de la solicitud europea: 30.10.2006 E 06844230 (0)
 Fecha y número de publicación de la concesión europea: 31.07.2013 EP 1941024

(54) Título: Salmonella entérica serotipo Paratyphi A atenuada y usos de la misma

(30) Prioridad:

28.10.2005 US 731349 P

(45) Fecha de publicación y mención en BOPI de la traducción de la patente: 26.11.2013

(73) Titular/es:

UNIVERSITY OF MARYLAND, BALTIMORE (100.0%)
520 WEST LOMBARD STREET
BALTIMORE MD 21201, US

(72) Inventor/es:

VINDURAMPULLE, CHRISTOFER; BARRY, EILEEN M. y LEVINE, MYRON M.

(74) Agente/Representante:

AZNÁREZ URBIETA, Pablo

DESCRIPCIÓN

Salmonella entérica serotipo Paratyphi A atenuada y usos de la misma.

SOLICITUDES RELACIONADAS

5

10

15

20

La presente solicitud reivindica el beneficio de la Solicitud Provisional US nº 60/731.349 presentada el 28 de octubre de 2005.

ANTECEDENTES DE LA INVENCIÓN

La fiebre entérica causada por miembros del género *Salmonella*, incluyendo las fiebres tifoidea y paratifoidea, sigue constituyendo una importante carga de morbilidad y mortalidad entre las poblaciones de los países en vías de desarrollo (Lancet 2005; 366: 749-762) y representa un riesgo notable para los viajeros (Lancet Infect Dis. 2005; 5(10): 623-628). Las incidencias de fiebre entérica causada por *Salmonella enteric* serotipo Typhi y Paratyphi A (S. Typhi y S. Paratyphi A) están aumentando debido a la aparición y propagación de variantes resistentes a los antibióticos (Lancet Infect Dis. 2005 5(10): 623-8). Aunque en general la enfermedad clínica causada por S. Paratyphi A es algo más leve que la debida a S. Typhi, la primera puede resultar en una fiebre entérica en su estado más avanzado con toda una serie de complicaciones y, si no se trata o se trata incorrectamente, puede tener como consecuencia la muerte. Existe la necesidad de disponer de vacunas que sean seguras y eficaces para combatir infecciones por *Salmonella*.

SUMARIO DE LA INVENCIÓN

La presente invención se refiere a una cepa de S. Paratyphi A atenuada, donde dicha cepa A tiene una mutación atenuante en los loci *guaBA* y una mutación atenuante en el gen *clpX*. En realizaciones preferentes, la cepa *S*. Paratyphi A tiene una mutación atenuante en el gen *guaB*, el gen *guaA* y el gen *clpP*. En una realización especialmente preferente, la cepa de *Salmonella* Paratyphi A tiene una mutación atenuante en el gen *guaB*, el gen *guaB*, el gen *clpX*. En otra realización preferente, la cepa de *Salmonella* Paratyphi A tiene una mutación atenuante en el gen *guaB*, el gen *guaA*, el gen *clpP* y el gen *clpX*.

En una realización, la mutación atenuante es una mutación atenuante que reduce el nivel de expresión de los loci o los genes o bloquea la expresión de los loci o los genes.

En otra realización, la mutación atenuante es una mutación atenuante que reduce la actividad de un polipéptido codificado por los loci o los genes o inactiva un polipéptido codificado por los loci o los genes.

En una realización preferente, la cepa de Salmonella Paratyphi A es la cepa S. Paratyphi A 9150.

La presente invención incluye también cepas de *S.* Paratyphi A según la presente invención que comprenden además un sistema de expresión plasmídico estabilizado.

En una realización preferente, el sistema de expresión plasmídico estabilizado comprende un vector de expresión que tiene (a) un casete de origen de replicación de número de copias restringido, (b) como mínimo un casete de destrucción postsegregacional, (c) como mínimo un casete de partición y (d) un casete de expresión.

- En realizaciones preferentes, el casete de origen de replicación de número de copias restringido comprende (i) una secuencia de nucleótidos que codifica un origen de replicación que limita el vector de expresión a un número medio de copias plasmídicas de aproximadamente 2 a 75 copias por célula, (ii) un primer sitio de corte de enzima de restricción único situado en 5' de la secuencia de nucleótidos que codifica el origen de replicación y (iii) un segundo sitio de corte de enzima de restricción único situado en 3' de la secuencia de nucleótidos que codifica el origen de replicación.
- 40 En las mismas realizaciones, el casete de destrucción postsegregacional comprende (i) una secuencia de nucleótidos que codifica como mínimo un locus de destrucción postsegregacional, (ii) un tercer sitio de corte de enzima de restricción único situado en 5' de la secuencia de nucleótidos que codifica el locus de destrucción postsegregacional y (iii) un cuarto sitio de corte de enzima de restricción único situado en 3' de la secuencia de nucleótidos que codifica el locus de destrucción postsegregacional.
- 45 En las mismas realizaciones, el casete de partición comprende (i) una secuencia de nucleótidos que codifica como mínimo una función de partición, (ii) un quinto sitio de corte de enzima de restricción único situado en 5' de la secuencia de nucleótidos que codifica la función de partición y (iii) un sexto sitio de corte de enzima de restricción único situado en 3' de la secuencia de nucleótidos que codifica la función de partición.
- En las mismas realizaciones, el casete de expresión comprende (i) una secuencia de nucleótidos que codifica un 50 antígeno seleccionado unido de manera operable a un promotor, (ii) un séptimo sitio de corte de enzima de

restricción único situado en 5' de la secuencia de nucleótidos que codifica el antígeno seleccionado unido de manera operable a un promotor y (iii) un octavo sitio de corte de enzima de restricción único situado en 3' de la secuencia de nucleótidos que codifica el antígeno seleccionado unido de manera operable a un promotor.

En realizaciones preferentes, la secuencia de nucleótidos que codifica el origen de replicación es una secuencia de nucleótidos seleccionada del grupo consistente en la secuencia *ori*E1 de SEQ ID nº: 28, la secuencia *ori*101 de SEQ ID nº: 30 y la secuencia *ori*15A de SEQ ID nº: 29.

En realizaciones preferentes, la secuencia de nucleótidos que codifica el locus de destrucción postsegregacional es una secuencia de nucleótidos seleccionada del grupo consistente en una secuencia de nucleótidos que codifica el sistema letal equilibrado *ssb*, una secuencia de nucleótidos que codifica el sistema letal equilibrado *asd*, una secuencia de nucleótidos que codifica el sistema proteico *phd-doc* y una secuencia de nucleótidos que codifica el sistema antisentido *hok-sok*. Con especial preferencia, el locus de destrucción postsegregacional es una secuencia de nucleótidos que codifica el sistema letal equilibrado *ssb* seleccionada del grupo consistente en el locus *ssb* de *Shigella flexneri*, el locus *ssb* de *Salmonella* Typhi y el locus *ssb* de *E. coli*. Aun más preferentemente, el sistema letal equilibrado *ssb* es un locus *ssb* que comprende un promotor inducible de *ssb*, un promotor constitutivo de *ssb* y una región codificadora de *ssb* de la cepa de *S. flexneri* 2a CVD 1208s mostrada en la SEQ ID nº: 34.

En realizaciones preferentes, la secuencia de nucleótidos que codifica la función de partición es una secuencia de nucleótidos seleccionada del grupo consistente en el locus *parA* de *E. coli* de SEQ ID nº: 31 y el locus pSC101 *par* de *E. coli* de en SEQ ID nº: 32.

En realizaciones preferentes, el promotor es un promotor inducible, en especial un promotor de *ompC* y con mayor preferencia el promotor de *ompC* mostrado en la SEQ ID nº: 33.

En una realización, la secuencia de nucleótidos que codifica un antígeno seleccionado es una secuencia de nucleótidos que codifica un antígeno homólogo. En otra realización, la secuencia de nucleótidos que codifica un antígeno seleccionado es una secuencia de nucleótidos que codifica un antígeno heterólogo.

En realizaciones preferentes, la secuencia de nucleótidos que codifica un antígeno seleccionado es una secuencia de nucleótidos que codifica un antígeno heterólogo seleccionado del grupo consistente en un antígeno vírico, bacteriano, un antígeno de cáncer y un antígeno autoinmune.

La presente invención incluye también una formulación farmacéutica que comprende una o más de las cepas de *Salmonella* Paratyphi A atenuadas de la presente invención. Las formulaciones farmacéuticas son preferentemente formulaciones farmacéuticas orales.

- La presente invención incluye además las formulaciones farmacéuticas de la presente invención para el uso en un método para inducir una respuesta inmunitaria en un sujeto, que comprende la administración de una cantidad inmunológicamente eficaz de una formulación farmacéutica de la presente invención a un sujeto. La respuesta inmunitaria es preferentemente una respuesta inmunitaria protectora.
- La cantidad inmunológicamente eficaz de la formulación farmacéutica contiene entre aproximadamente 10² cfu y aproximadamente 10¹⁰ cfu, con mayor preferencia entre aproximadamente 10⁶ cfu y aproximadamente 10⁹ cfu, de la cepa de S. Paratyphi A atenuada dentro de la formulación farmacéutica.

En una realización, la respuesta inmunitaria es una respuesta a *Salmonella* Paratyphi A. En otra realización, la respuesta inmunitaria es una respuesta al antígeno seleccionado. En otra realización más, la respuesta inmunitaria es una respuesta tanto a *Salmonella* Paratyphi A como al antígeno seleccionado.

Para mutar o delecionar diversos genes y loci cromosómicos de las cepas S. Paratyphi de la presente invención puede utilizarse el sistema de mutagénesis mediada por Lambda Red.

BREVE DESCRIPCIÓN DE LAS FIGURAS

5

10

15

45

- Figura 1: muestra los productos de amplificación por PCR de *guaBA* y *guaBA::cml*. La línea 1 es *guaBA* de tipo salvaje; las líneas 2 y 3 son *guaBA::cml*. Las flechas indican bandas de marcador de peso molecular de 3 kb (arriba) y 1,5 kb (abajo).
 - Figura 2: muestra los productos de amplificación por PCR de deleciones de *guaBA*::cml y *guaBA*. La línea 1 es *guaBA*::cml; las líneas 2 a 5 son deleciones de *guaBA*. Las flechas indican bandas de marcador de peso molecular de 1,5 kb (arriba) y 0,5 kb (abajo).
- Figura 3: muestra los resultados de un estudio de complementación de la deleción de *guaBA*. La placa 1 es el mutante de *guaBA* transformado con pLowBlu 184; la placa 2 es el mismo mutante transformado con pATGguaBA.

Figura 4: muestra los productos de amplificación por PCR de *S.* Paratyphi A atenuada con wt, *clpX* y *clpX-guaBA*. El panel A muestra productos de PCR producidos empleando cebadores específicos para *clpX*, mientras que el panel B muestra productos de PCR producidos empleando cebadores específicos para *guaBA*. Las flechas indican bandas de marcador de peso molecular de 1,5 kb (arriba) y 0,5 kb (abajo) en el panel A, y de 3 kb (arriba) y 0,5 kb (abajo) en el panel B.

Figura 5: muestra los productos de amplificación por PCR de *S.* Paratyphi A atenuada con wt, *clpP* y *clpP-guaBA*. El panel A muestra productos de PCR producidos empleando cebadores específicos para *clpP*, mientras que el panel B muestra productos de PCR producidos empleando cebadores específicos para *guaBA*. Las flechas indican bandas de marcador de peso molecular de 1 kb (arriba) y 0,5 kb (abajo) en el panel A, y de 3 kb (arriba) y 0,5 kb (abajo) en el panel B.

Figura 6: representación gráfica de datos de ensayos de LD₅₀ en ratones a los que se les inyectó wt, S. Paratyphi A con deleción de *guaBA*, con deleción de *guaBA* complementada con pLowBlu 184 y con deleción de *guaBA* complementada con pATGquaBA.

Figura 7: representación gráfica de datos de ensayos LP₅₀ en ratones a los que se les inyectó wt, *S.* Paratyphi A con deleción de *clpX*, *S.* Paratyphi A con deleción de *guaBA*, o *S.* Paratyphi A con deleción de *clpX*-guaBA. Los datos incluyen ratones a los que se les inyectó *S.* Paratyphi A con deleción de *clpX* complementada con pLowBlu 184 o pATGclpX, así como *S.* Paratyphi A con deleción de *clpX*-guaBA complementada con pLowBlu 184 o pATGclpXATGguaBA.

Figura 8: representación gráfica de datos de ensayos de LD₅₀ en ratones a los que se les inyectó wt, *S.*20 Paratyphi A con deleción de *clpP*, *S.* Paratyphi A con deleción de *guaBA*, o *S.* Paratyphi A con deleción de *clpP*-*guaBA*. Los datos incluyen ratones a los que se les inyectó *S.* Paratyphi A con deleción de *clpP* complementada con
pLowBlu 184 o pATGclpP, así como *S.* Paratyphi A con deleción de *clpP*-*guaBA* complementada con pLowBlu 184 o
pATGclpPATGguaBA.

DESCRIPCIÓN DETALLADA DE LA INVENCIÓN

A. Cepas de S. Paratyphi atenuadas

10

25

35

50

La presente invención se refiere a una cepa de *S.* Paratyphi A atenuada, teniendo dicha cepa una mutación atenuante en los loci guaBA y una mutación atenuante en el gen clpX. Tales cepas de *S.* Paratyphi A atenuadas pueden emplearse para inducir una respuesta inmunitaria en un sujeto sin provocarle una enfermedad.

La cepa de S. Paratyphi A empleada como material de partida de la presente invención puede ser cualquier cepa de S. Paratyphi A, no siendo crítica la identidad de la cepa. Entre las cepas de S. Paratyphi A preferidas se incluye la cepa de S. Paratyphi A 9150.

Las cepas de S. Paratyphi A de la presente invención están atenuadas. En el presente documento, las cepas de S. Paratyphi A atenuadas son aquellas que tienen una capacidad reducida, disminuida o reprimida para provocar una enfermedad en un sujeto, o aquellas que carecen por completo de la capacidad para provocar una enfermedad en un sujeto. Las cepas atenuadas pueden presentar una expresión reducida o no presentar ninguna expresión de uno o más genes, pueden expresar una o más proteínas con una actividad reducida o sin actividad, pueden presentar una capacidad reducida para crecer y dividirse, o una combinación de dos o más de estas características. Las cepas atenuadas de la presente invención pueden estar vivas o muertas.

Además de las cepas de S. Paratyphi A atenuadas de la presente invención, dentro del alcance de la invención se incluyen también cepas atenuadas de otros patógenos entéricos (por ejemplo Salmonella Typhi, Salmonella Paratyphi B, Shigella, Vibrio cholerae), comensales (por ejemplo Lactobacillus, Streptococcus gordonii) y cepas utilizadas en vacunas autorizadas (por ejemplo BCG). Estas cepas adicionales tienen todas las mutaciones atenuantes de las cepas de S. Paratyphi A de la presente invención, pueden transformarse con el sistema de expresión plasmídico estabilizado de la presente invención y pueden utilizarse como composición inmunizadora según se describe en el presente documento.

En realizaciones preferentes, las cepas de *S.* Paratyphi A atenuadas de la presente invención tienen un atenuante en los loci *guaBA* y una mutación atenuante en el gen *clpX* de *S.* Paratyphi. Por ejemplo, las cepas de *S.* Paratyphi A atenuadas de la presente invención pueden tener una mutación (i) en el gen *guaB* y el gen *clpP*, (ii) en el gen *guaB* y el gen *clpP*, (iii) en el gen *guaB* y el gen *clpP*, (v) en los loci *guaBA* y el gen *clpP*, (v) en el gen *guaB* y el gen *clpX*, (vii) en el gen *guaB*, el gen *clpX*, (viii) en los loci *guaBA* y el gen *clpX*, (ix) en el gen *guaB*, el gen *clpX*, (xi) en el gen *guaBA*, el gen *clpP* y el gen *clpX*, (xi) en el gen *guaBA*, el gen *clpP* y el gen *clpX*, (xi)

Las mutaciones de los loci y genes aquí descritas pueden ser cualesquiera mutaciones, tales como deleciones, inserciones o sustituciones de uno o más ácidos nucleicos. Las mutaciones pueden ser cualquier deleción, inserción

o sustitución de los loci o genes que resulte en una reducción o ausencia de la expresión de los loci o genes, o una reducción o ausencia de la actividad de un polipéptido codificado por los loci o genes. Las mutaciones pueden estar en las regiones codificadoras o no codificadoras de los loci o genes.

5

10

15

35

40

45

50

55

60

Preferentemente, en la presente invención, el genoma cromosómico de la cepa de *S*. Paratyphi A se modifica por eliminación u otra modificación de los loci *guaBA*, bloqueando así la biosíntesis *de novo* de nucleótidos de guanina. Con especial preferencia, una mutación en los loci *guaBA* inactiva las enzimas IMP deshidrogenasa (codificada por *guaB*) y GMP sintetasa (codificada por *guaA*) de la vía metabólica de la purina. A consecuencia de estas mutaciones, las *S*. Paratyphi A son incapaces de sintetizar *de novo* GMP y, por consiguiente, los nucleótidos GDP y GTP, lo que limita seriamente el crecimiento bacteriano en tejidos de mamífero. *In vitro*, los mutantes Δ*guaBA* de *S*. Paratyphi A de la presente invención son incapaces de crecer en un medio mínimo, a no ser que se complemente con guanina. En un cultivo tisular se comprobó que los mutantes Δ*guaBA* de *S*. Paratyphi A de la presente invención muestran una importante reducción en su capacidad para la invasión. Los mutantes Δ*guaBA* de *S*. Paratyphi A pueden eliminar nucleótidos de guanina de los tejidos del huésped mamífero. Sin embargo, su asimilación en *S*. Paratyphi A requiere antes una desfosforilación a nucleósidos mediante nucleotidasas periplásmicas para ser incorporados como precursores de nucleótido en la vía de rescate de la guanina. Por tanto, dado que los nucleótidos están fácilmente disponibles en el entorno intracelular del huésped mamífero, la atenuación debida a la síntesis *de novo* de nucleótidos de guanina se debe bien a la ineficacia de la vía de rescate o a razones ocultas para los conocimientos actuales.

El gen guaA de S. Paratyphi A 9150, que codifica la GMP sintetasa, tiene un tamaño de 1.578 pb (SEQ ID nº: 36) y 20 es en un 98% homólogo al gen guaA de S. Typhi Ty2, según se ha determinado mediante comparación de nucleótidos por NCBI BLAST. Pueden producirse mutantes de deleción eliminando porciones de la región codificadora del gen guaA de S. Paratyphi A, de modo que se impida una actividad o un plegado adecuados de GuaA. Por ejemplo pueden delecionarse de la región codificadora entre aproximadamente 25 y aproximadamente 1.500 pb, entre aproximadamente 75 y aproximadamente 1.400 pb, entre aproximadamente 100 y aproximadamente 25 1.300 pb, o todos ellos. Como alternativa, los mutantes de deleción pueden producirse eliminando, por ejemplo, un fragmento de 1 a 100 pb del gen guaA de S. Paratyphi A, de modo que se desplace el marco de lectura adecuado del gen. En el último caso, puede producirse un polipéptido sin sentido o puede abortarse la síntesis del polipéptido debido a un codón de terminación inducido por desplazamiento del marco. El tamaño preferido de la deleción es de aproximadamente 75 a 750 pb. También pueden realizarse deleciones que se extiendan más allá del gen guaA, es 30 decir deleciones en los elementos que controlan la traducción del gen quaA, por ejemplo en un sitio de unión ribosómica.

El gen *guaB* de *S.* Paratyphi A 9150, que codifica la IMP deshidrogenasa, tiene un tamaño de 1.467 pb (SEQ ID nº: 35) y es en un 98% homólogo al gen *guaB* de *S.* Typhi Ty2, según se ha determinado mediante comparación de nucleótidos por NCBI BLAST. Pueden producirse mutantes de deleción eliminando porciones de la región codificadora del gen *guaB* de S. Paratyphi A, de modo que se impida una actividad o un plegado adecuados de GuaB. Por ejemplo pueden delecionarse de la región codificadora entre aproximadamente 25 y aproximadamente 1.400 pb, entre aproximadamente 75 y aproximadamente 1.300 pb, entre aproximadamente 100 y aproximadamente 1.200 pb, o todos ellos. Como alternativa, los mutantes de deleción pueden producirse eliminando, por ejemplo, un fragmento de 1 a 100 pb del gen *guaB* de *S.* Paratyphi A, de modo que se desplace el marco de lectura adecuado del gen. En el último caso, puede producirse un polipéptido sin sentido o puede abortarse la síntesis del polipéptido debido a un codón de terminación inducido por desplazamiento del marco. El tamaño preferido de la deleción es de aproximadamente 75 a 750 pb. También pueden realizarse deleciones que se extiendan más allá del gen *guaB*, es decir deleciones en los elementos que controlan la traducción del gen *guaB*, por ejemplo en un promotor.

El gen *clpP* de *S.* Paratyphi A 9150, que codifica una serina proteasa, tiene un tamaño de 624 pb (SEQ ID nº: 37) y es en un 99% homólogo al gen *clpP* de *S.* Typhi Ty2, según se ha determinado mediante comparación de nucleótidos por NCBI BLAST. Pueden producirse mutantes de deleción eliminando porciones de la región codificadora del gen *clpP* de S. Paratyphi A, de modo que se impida una actividad o un plegado adecuados de ClpP. Por ejemplo pueden delecionarse de la región codificadora entre aproximadamente 25 y aproximadamente 600 pb, entre aproximadamente 75 y aproximadamente 500 pb, entre aproximadamente 100 y aproximadamente 400 pb, o todos ellos. Como alternativa, los mutantes de deleción pueden producirse eliminando, por ejemplo, un fragmento de 1 a 100 pb del gen *clpP* de S. Paratyphi A, de modo que se desplace el marco de lectura adecuado del gen. En el último caso, puede producirse un polipéptido sin sentido o puede abortarse la síntesis del polipéptido debido a un codón de terminación inducido por desplazamiento del marco. El tamaño preferido de la deleción es de aproximadamente 25 a 600 pb. También pueden realizarse deleciones que se extiendan más allá del gen *clpP*, es decir deleciones en los elementos que controlan la traducción del gen *clpP*, por ejemplo en un promotor.

El gen *clpX* de *S.* Paratyphi A 9150, que codifica una chaperona ATPasa, tiene un tamaño de 1.272 pb (SEQ ID n°: 38) y es en un 99% homólogo al gen *clpX* de *S.* Typhi Ty2, según se ha determinado mediante comparación de nucleótidos por NCBI BLAST. Pueden producirse mutantes de deleción eliminando porciones de la región codificadora del gen *clpX* de *S.* Paratyphi A, de modo que se impida una actividad o un plegado adecuados de ClpX. Por ejemplo pueden delecionarse de la región codificadora entre aproximadamente 25 y aproximadamente 1.200 pb, entre aproximadamente 75 y aproximadamente 1.000 pb, entre aproximadamente 100 y aproximadamente 1.000 pb,

o todos ellos. Como alternativa, los mutantes de deleción pueden producirse eliminando, por ejemplo, un fragmento de 1 a 100 pb del gen *clpX* de *S.* Paratyphi A, de modo que se desplace el marco de lectura adecuado del gen. En el último caso, puede producirse un polipéptido sin sentido o puede abortarse la síntesis del polipéptido debido a un codón de terminación inducido por desplazamiento del marco. El tamaño preferido de la deleción es de aproximadamente 75 a 750 pb. También pueden realizarse deleciones que se extiendan más allá del gen *clpX*, es decir deleciones en los elementos que controlan la traducción del gen *clpX*, por ejemplo en un promotor.

Las deleciones pueden realizarse en cualquiera de los loci o genes aquí incluidos, utilizando sitios de restricción convenientes situados dentro de los loci o genes, o mediante una mutagénesis de sitio dirigido con oligonucleótidos (Sambrook y col., en: Molecular Cloning, A Laboratory Manual, Ed., Cold Spring Harbor Publications (1989)).

Puede realizarse también una inactivación de los loci o genes mediante una inserción de ADN extraño, utilizando cualquier sitio de restricción conveniente, o mediante una mutagénesis de sitio dirigido con oligonucleótidos (Sambrook y col., *supra*), de modo que se interrumpa la transcripción correcta de los loci o genes. El tamaño típico de una inserción que pueda inactivar los loci o genes está entre 1 par de bases y 100 kpb, aunque son preferibles las inserciones inferiores a 100 kpb. La inserción puede realizarse en cualquier lugar dentro de las regiones codificadoras de los loci o genes o entre las regiones codificadoras y los promotores.

Otros métodos para la inactivación de los loci y los genes incluyen la transferencia a *Salmonella* de deleciones o inserciones realizadas en loci *guaBA*, genes *guaA*, *guaB*, *clpP* o *clpX* de otras enterobacterias, deleciones generadas por transposón, y la excisión imprecisa de inserciones de ADN.

Preferentemente, los loci y genes bacterianos se mutan empleando mutagénesis mediada por Lambda Red (Datsenko y Wanner, PNAS USA 97: 6640-6645 (2000)). Resumiendo, en la etapa 1 las bacterias huésped a las que 20 va dirigida la mutación se transforman con un plásmido sensible a la temperatura que codifica λ, Red recombinasa. Estas bacterias se cultivan en presencia de arabinosa para inducir la producción de λ, Red. Se realiza una mutagénesis cromosómica de una secuencia diana mediante electroporación del huésped con ADN lineal en el que el gen diana se sustituye por un marcador de resistencia a los antibióticos. Este ADN codifica también regiones 25 cortas de secuencias cromosómicas flanqueantes para permitir una integración cromosómica del marcador de resistencia mediante recombinación homóloga mediada por λ Red. Se seleccionan los recombinantes en un medio sólido que contiene el antibiótico adecuado y se incuban a una temperatura que facilita la pérdida del plásmido que codifica la \(\) Red recombinasa. Para la etapa 2, la retirada del marcador de resistencia cromosómico se facilita transformando las bacterias con un plásmido sensible a la temperatura que codifica FLP recombinasa y que se dirige 30 a secuencias únicas dentro del marcador de resistencia a los antibióticos ahora presentes en el cromosoma huésped. Se cultivan transformantes a temperaturas permisivas para la presencia de la FLP recombinasa, que se expresa de manera constitutiva. Se criban los mutantes mediante PCR, se cultivan a una temperatura que facilita la pérdida del plásmido que codifica FLP recombinasa y se seleccionan para su almacenamiento.

Las cepas de S. Paratyphi A atenuadas de la presente invención pueden contener mutaciones en uno o más genes adicionales. Aunque la patente US nº 6.682.729 incluye una extensa discusión sobre mutaciones atenuantes adicionales de *Salmonella* spp., entre los ejemplos de genes se incluyen los que codifican diversas vías bioquímicas, sistemas reguladores globales, proteínas de choque térmico, otros genes reguladores y propiedades de virulencia putativas. Entre los ejemplos específicos de tales mutaciones atenuantes se incluyen, sin limitarse a las mismas: (i) mutaciones auxotróficas, tales como mutaciones de *aro*, gua, *nad*, *thy* y *asd*; (ii) mutaciones que inactivan funciones reguladoras globales, tales como mutaciones de *cya*, *crp*, *phoP/phoQ*, *phoP^c* y *ompR*; (iii) mutaciones que modifican la respuesta al estrés, tales como mutaciones de *recA*, *htrA*, *htpR*, *hsp* y *groEL*; (iv) mutaciones en factores de virulencia específicos, tales como mutaciones de *pag* y *prg*; (v) mutaciones que afectan a la topología del ADN, tales como mutaciones de *topA*; (vi) mutaciones que bloquean la biogénesis de polisacáridos de superficie, tales como mutaciones de *rfb*, *galE* y *via*; (vii) mutaciones que modifican sistemas suicidas, tales como mutaciones de *sacB*, *nuc*, *hok*, *gef*, *kil* y *phlA*; (viii) mutaciones que introducen sistemas suicidas, tales como lisógenos codificados por *P22*, λ murein transglicosilasa y gen S; y (ix) mutaciones que alteran o modifican el ciclo celular correcto, tales como mutaciones de *minB*.

B. Sistema plasmídico de expresión estabilizado

5

35

40

45

50

55

Las cepas de S. Paratyphi A atenuadas según la reivindicación 1 de la presente invención incluyen las cepas diseñadas por ingeniería para expresar polipéptidos seleccionados (antígenos). Tales cepas de S. Paratyphi A atenuadas pueden utilizarse para inducir una respuesta inmunitaria en la S. Paratyphi misma o para inducir una respuesta inmunitaria en los antígenos seleccionados expresados por las cepas de S. Paratyphi A atenuadas, o ambas respuestas.

Tales cepas de S. Paratyphi A atenuadas se transforman con un sistema plasmídico de expresión estabilizado. El sistema plasmídico de expresión estabilizado codifica un antígeno seleccionado.

El sistema plasmídico de expresión estabilizado comprende un vector de expresión que comprende un sistema de mantenimiento plasmídico (PMS) y una secuencia de nucleótidos que codifica un antígeno seleccionado.

El sistema plasmídico de expresión estabilizado optimiza el mantenimiento del vector de expresión en las bacterias en dos niveles independientes, mediante: (1) eliminación de la dependencia exclusiva de los sistemas de mantenimiento letales equilibrados y (2) incorporación de un sistema de partición plasmídica para impedir la segregación aleatoria de vectores de expresión, mejorando así su herencia y estabilidad.

5 El PMS incluye (a) un origen de replicación, (b) como mínimo una función de destrucción postsegregacional y (c) como mínimo una función de partición. Cada uno de los elementos del PMS mencionados puede ser un casete individual del sistema plasmídico de expresión estabilizado. Cada uno de los casetes puede comprender sitios de corte de enzima de restricción únicos situados en los extremos 5' y 3' de los casetes.

Los sistemas plasmídicos de expresión estabilizados preferentes son los descritos en la solicitud de patente US nº 11/542.264 en trámite.

1. Origen de replicación

10

15

30

40

El PMS incluye un origen de replicación de número de copias restringido que limita el vector de expresión a un margen de copias plasmídicas por célula. Debido a los diversos grados de toxicidad asociados a los diferentes antígenos seleccionados (por ejemplo toxicidad elevada para antígenos derivados de organismos parasitarios tales como el *Plasmodium falciparum* contra la ausencia prácticamente total de toxicidad para el fragmento C de la toxina del tétanos), el sistema plasmídico de expresión estabilizado de la presente invención está basado en un vector de expresión (plásmido) de número de copias bajo o medio. El técnico en la materia comprenderá que la selección de un origen de replicación dependerá del grado de toxicidad, es decir que el número de copias debería disminuir según aumenta la toxicidad con respecto a la cepa bacteriana.

Es preferible que el origen de replicación confiera un número medio de copias entre aproximadamente 2 y aproximadamente 75 copias por célula, entre aproximadamente 5 y aproximadamente 60 copias por célula, entre aproximadamente 5 y aproximadamente 5 y aproximadamente 15 copias por célula. Los orígenes de replicación aquí incluidos se derivan del plásmido pAT153 de *E. coli* (*oriE1*, ~60 copias por equivalente cromosómico), el plásmido pACYC184 de *E. coli* (*ori*15A, ~15 copias por equivalente cromosómico) y el plásmido pSC101 de *Salmonella typhimurium* (*ori*101, ~5 copias por equivalente cromosómico). Las organizaciones estructurales de los casetes de origen de replicación obtenidos por ingeniería para pSC101, pACYC184 y pAT153 son análogas en estructura y función.

Los orígenes de replicación de la presente invención incluyen no sólo orígenes de replicación presentes en la naturaleza, sino también orígenes de replicación codificados por secuencias de nucleótidos que son esencialmente homólogas a secuencias de nucleótidos que codifican orígenes de replicación presentes en la naturaleza y que conservan la función de aquellas de los orígenes de replicación presentes en la naturaleza.

En realizaciones preferentes, la secuencia de nucleótidos que codifica el origen de replicación es una secuencia de nucleótidos seleccionada del grupo consistente en la secuencia *ori*El de SEQ ID nº: 28, la secuencia *ori*101 de SEQ ID nº: 30 y la secuencia *ori*15A de SEQ ID nº: 29.

En una realización especialmente preferente, el origen de replicación es el locus *ori*E1 de pSC101 que confiere un número de copias de aproximadamente 5 copias por equivalente genómico, de SEQ ID nº: 28.

2. Función de partición

El PMS incluye también una función de partición, también conocida en la técnica y en el presente documento como "sistema de segregación" y "sistema de partición". La función de partición es cualquier función mejoradora de la estabilidad plasmídica que actúe aumentando la frecuencia de suministro exitoso de un plásmido a cada célula bacteriana recién dividida, en comparación con la frecuencia de suministro de un plásmido correspondiente sin dicha función. Entre los sistemas de partición se incluyen, por ejemplo, sistemas de equipartición, sistemas de partición par-sitio y los sistemas facilitados en la Tabla 1 del Capítulo 5, Partition Systems of Bacterial Plasmids, B.E. Funnell y R.A. Slavcev, en Plasmid Biology. 2004, BE Funnell y GJ Phillips, ed. ASM Press, Washington, DC.

Los sistemas de partición de la presente invención incluyen no sólo sistemas de partición presentes en la naturaleza, sino también sistemas de partición codificados por secuencias de nucleótidos que son esencialmente homólogas a las secuencias de nucleótidos que codifican sistemas de partición presentes en la naturaleza y que conservan la función de los sistemas de partición naturales.

Ejemplos de funciones de partición incluyen, sin limitación, sistemas de pSC101, el factor F, el profago P1 y los plásmidos de resistencia a los fármacos IncFII.

En particular puede utilizarse el locus de partición pasivo *par*. La función del locus *par* parece estar relacionada con el sobreenrollado plasmídico creciente en el origen de replicación, que también es el sitio de unión para ADN girasa. Un ejemplo de secuencia *par* es la de *E. coli*, de SEQ ID nº: 32 (Miller y col., Nucleotide sequence of the partition

locus of Escherichia coli plasmid pSC101, Gene 24:309-15 (1983); nº de registro GenBank X01654, nucleótidos 4524 - 4890).

También puede emplearse el locus *parA* de partición activa. En SEQ ID nº: 31 se expone un ejemplo de secuencia de locus *parA*.

5 <u>3. Función de destrucción postsegregacional</u>

El PMS incluye además como mínimo una función de destrucción postsegregacional (PSK). La función PSK es una función que resulta en la muerte de toda célula bacteriana recién dividida que no herede el plásmido de interés, e incluye específicamente sistemas letales equilibrados tales como *asd* o *ssb*, sistemas proteicos tales como *phd-doc* y sistemas antisentido tales como *hok-sok*.

- La función PSK de la presente invención incluye no sólo funciones PSK presentes en la naturaleza, sino también funciones PSK codificadas por secuencias de nucleótidos que son esencialmente homólogas a las secuencias de nucleótidos que codifican funciones PSK presentes en la naturaleza y que conservan la función presentada por las funciones PSK naturales.
- En realizaciones preferentes, la función PSK es el sistema letal equilibrado ssb. Se utiliza la proteína de unión a cadena simple (SSB) de S. Typhi para transcomplementar una mutación de otro modo letal introducida en el gen ssb cromosómico. Los papeles bioquímico y metabólico de la proteína SSB de *E. coli* se han analizado extensamente en Lohman y col., Annual Reviews in Biochemistry 63:527, 1994 y Chase y col., Annual Reviews in Biochemistry 55:103, 1986.
- En las cepas de S. Paratyhphi A de la presente invención que comprenden un sistema plasmídico de expresión estabilizado donde la función PSK es el sistema letal equilibrado ssb, el locus ssb nativo de las bacterias se inactiva. El locus ssb nativo puede inactivarse por cualquier medio conocido en la técnica, tal como un vector suicida que comprenda un origen de replicación sensible a la temperatura o por mutagénesis mediada por Lambda-Red (Datsenko y Wanner, PNAS USA 97:6640-6645 (2000)). En un aspecto preferente, la mutagénesis mediada por Lambda Red se utiliza para inactivar el locus ssb de las cepas de S. Paratyphi A atenuadas de la presente invención.

En otro aspecto de la invención, la función PSK es el locus ssb en el que, como promotores de la función PSK de ssb, se utilizan tanto el promotor del gen ssb inducible como el promotor del gen ssb constitutivo. En una realización preferente, la función PSK comprende un promotor inducible de ssb, un promotor constitutivo de ssb y una región codificadora de ssb. El locus ssb es preferentemente el locus ssb de sbb de sbb

En un aspecto relacionado de la invención pueden incorporarse al sistema plasmídico de expresión estabilizado alelos mutados tales como *ssb-1* (o cualquier mutación funcionalmente equivalente a este alelo, tal como W54S; Carlini y col., Mol. Microbiol. 10:1067-1075 (1993)), con el fin de mejorar los plásmidos de número de copias elevado mediante una sobreexpresión de proteínas afines a SSB1 para formar los tetrámeros biológicamente activos de SSB requeridos.

En otra realización, el PMS comprende dos funciones PSK.

4. Antígeno seleccionado

30

35

45

El sistema plasmídico de expresión estabilizado comprende también un polinucleótido que codifica el antígeno seleccionado bajo el control de un promotor.

El promotor es preferentemente un promotor regulable con respecto al entorno, controlado por una señal biológicamente relevante tal como la osmolaridad. En una realización preferente, el promotor es el promotor *ompC*. El gen *ompC* codifica una proteína porina que se inserta en forma de trímero en la membrana exterior de una célula bacteriana. La expresión y el control de *ompC* se han analizado en detalle en Pratt y col., Molecular Microbiology 20:911, 1996 y Egger y col., Genes to Cells 2: 167, 1997. En una realización preferente, el fragmento del promotor *ompC* de *E. coli* se muestra en la SEQ ID nº: 33. Véase la patente US nº 6.703.233. La transcripción de este casete puede terminarse en la región 3'-distal mediante un terminador transcripcional *trpA*.

En un aspecto, el promotor inducible es el promotor P_{ompC3} o P_{ompC1} mutado. El promotor puede emplearse para controlar exclusivamente la transcripción del antígeno seleccionado aguas abajo.

La invención abarca la expresión de cualquier antígeno que no destruya la cepa de S. Paratyphi A atenuada que lo expresa y que provoque una respuesta inmunitaria cuando se administra al sujeto la cepa de S. Paratyphi A

atenuada que expresa el antígeno. Los antígenos seleccionados pueden ser homólogos (de S. Paratyphi A) o heterólogos.

Entre los ejemplos, no limitativos, del antígeno seleccionado se incluyen: antígeno de toxina Shiga 1 (Stx1), antígeno de toxina Shiga 2 (Stx2), hepatitis B, *Haemophilus influenzae* tipo b, hepatitis A, pertussis acelular (acP), varicela, rotavirus, *Streptococcus pneumoniae* (neumocócico) y *Neisseria meningitidis* (meningocócico). Véase Ellis y col., Advances in Pharm., 39:393423, 1997. Si el antígeno es un antígeno de toxina Shiga 2, el antígeno de toxina Shiga 2 puede, por ejemplo, ser un pentámero de subunidad B o bien una Stx 2 genéticamente destoxificada. Entre otros antígenos de relevancia para la biodefensa se incluyen: 1) uno o más dominios de la parte del antígeno protector PA83 de la toxina carbuncosa, incluyendo, pero sin limitarse al mismo, el dominio 4 (el dominio de unión celular eucariota; D4), la forma biológicamente activa de 63 kDa procesada de PA83, o el PA83 en toda su longitud; y 2) antígenos de *Clostridium botulinum* que comprenden el fragmento de cadena pesado de unión celular eucariota de cualquier neurotoxina serotipo A, B, C, D, E, F o G, en cualquier combinación. Entre otros antígenos seleccionados se incluyen todos los descritos en la patente US nº 6.190.669.

En un aspecto, el antígeno seleccionado es un antígeno que induce una respuesta inmunitaria al cáncer. En otro aspecto, el antígeno seleccionado está diseñado para provocar una respuesta inmunitaria a autoantígenos, receptores de células B y/o receptores de células T implicados en enfermedades autoinmunes o inmunológicas. Por ejemplo, en los casos en que se provoquen respuestas inmunitarias inadecuadas contra tejidos corporales o antígenos ambientales, las composiciones inmunizadoras de la presente invención pueden utilizarse para inducir una respuesta inmunitaria a los autoantígenos, receptores de células B y/o receptores de células T para modular las respuestas y mejorar las enfermedades. Por ejemplo, tales técnicas pueden resultar eficaces para tratar la miastenia grave, el lupus eritematoso, la artritis reumatoide, la esclerosis múltiple, alergias y el asma.

En otro aspecto de la presente invención, el sistema plasmídico de expresión estabilizado puede incluir un polinucleótido que codifique un marcador seleccionable o un marcador sensible a la temperatura, tal como un marcador de resistencia a los fármacos. Un ejemplo no limitativo de marcador de resistencia a los fármacos es *aph*, del que en la técnica actual se sabe que confiere resistencia a los aminoglucósidos kanamicina y/o neomicina.

En el presente documento, los términos "en esencia homólogo" o "esencialmente homólogo" en relación con una secuencia de nucleótidos o una secuencia de aminoácidos indican que la secuencia de ácidos nucleicos o la secuencia de aminoácidos tiene suficiente homología con respecto a la secuencia de referencia (por ejemplo una secuencia nativa o presente en la naturaleza) para permitir a la secuencia realizar la misma función básica que la secuencia de referencia correspondiente; en general, una secuencia esencialmente homóloga es al menos aproximadamente en un 70 por ciento idéntica a la secuencia de referencia, en general como mínimo aproximadamente en un 85 por ciento idéntica, con preferencia como mínimo aproximadamente en un 90 o un 95 por ciento idéntica y con la máxima preferencia aproximadamente en un 96, 97, 98 o 99 por ciento idéntica, a dicha secuencia de referencia. Se entiende que, en esta memoria descriptiva, cuando se haga referencia a secuencias de nucleótidos y/o secuencias de aminoácidos específicas, tales secuencias de nucleótidos y/o secuencias de aminoácidos pueden sustituirse por secuencias esencialmente homólogas.

C. Métodos para inducir una respuesta inmunitaria

5

10

25

30

35

40

45

50

55

La presente invención incluye también una formulación farmacéutica según las reivindicaciones 19 y 20 para su uso en métodos para inducir en un sujeto una respuesta inmunitaria a la cepa de S. Paratyphi A atenuada misma, a un antígeno seleccionado expresado por una cepa de S. Paratyphi A atenuada transformada con un sistema plasmídico de expresión estabilizado, o a ambos.

En una realización, el empleo de una formulación farmacéutica según las reivindicaciones 19 y 20 para su uso en métodos para inducir una respuesta inmunitaria comprende la administración a un sujeto de una o más de las cepas de la presente invención en una cantidad suficiente para inducir una respuesta inmunitaria en él. En el presente documento, la cepa de la presente invención incluye cepas de S. Paratyphi A atenuadas tanto transformadas como no transformadas.

En otra realización, el empleo de una formulación farmacéutica según las reivindicaciones 19 y 20 para su uso en métodos para inducir una respuesta inmunitaria comprende la administración a un sujeto de la formulación farmacéutica que comprende una o más de las cepas de la presente invención en una cantidad suficiente para inducir una respuesta inmunitaria en el sujeto (una cantidad inmunológicamente eficaz).

Por conveniencia, en el presente documento nos referiremos a las cepas de la presente invención y a las formulaciones farmacéuticas que comprenden las cepas como "composiciones inmunizadoras". El técnico en la materia comprenderá que composiciones inmunizadoras es sinónimo de vacunas.

En el presente documento, una "respuesta inmunitaria" es la respuesta fisiológica del sistema inmunitario del sujeto a la composición inmunizadora. Una respuesta inmunitaria puede incluir una respuesta inmunitaria innata, una respuesta inmunitaria adaptativa, o ambas.

En una realización preferente de la presente invención, la respuesta inmunitaria es una respuesta inmunitaria protectora. Una respuesta inmunitaria protectora confiere memoria celular inmunológica al sujeto, con el efecto de que una exposición secundaria al mismo antígeno o a uno similar está caracterizada por una o más de las siguientes características: fase de latencia más corta que la fase de latencia resultante de la exposición al antígeno seleccionado en ausencia de una exposición previa a la composición inmunizadora; producción de anticuerpos que continúa durante un periodo más largo que la producción de anticuerpos resultante de la exposición al antígeno seleccionado en ausencia de una exposición previa a la composición inmunizadora; un cambio en el tipo y la calidad de los anticuerpos producidos en comparación con el tipo y la calidad de los anticuerpos producidos con una exposición al antígeno seleccionado en ausencia de una exposición previa a la composición inmunizadora; un desplazamiento en la respuesta de clase, con una aparición de anticuerpos IgG en mayores concentraciones y con una mayor persistencia que IqM, en relación con lo que ocurre en respuesta a una exposición al antígeno seleccionado en ausencia de una exposición previa a la composición inmunizadora; una afinidad media (constante de unión) entre los anticuerpos y el antígeno mayor que la afinidad media entre los anticuerpos y el antígeno resultante de una exposición al antígeno seleccionado en ausencia de una exposición previa a la composición inmunizadora; y/u otras características de las que conocidas en el estado actual de la técnica por caracterizar una respuesta inmunitaria secundaria.

El sujeto al que pueden administrarse las composiciones inmunizadoras es preferentemente un humano, pero también puede ser otro mamífero, por ejemplo simios, perros, gatos, caballos, vacas o cerdos, o aves, por ejemplo gallinas.

20 En una realización, el sujeto es un sujeto con riesgo de desarrollar una infección por S. Paratyphi A. En otra realización, el sujeto es inmunológicamente *naïve* o, como alternativa, presenta una inmunidad preexistente a la infección por S. Typhi o la infección por S. Paratyphi A.

En otra realización, el sujeto al que se administran las cepas de la presente invención desarrolla una respuesta inmunitaria protectora contra la fiebre paratifoidea.

25 D. Formulaciones, dosis y modos de administración

10

15

30

35

40

55

Las cepas atenuadas de la presente invención, tanto las no transformadas como las transformadas con un sistema plasmídico de expresión estabilizado, pueden administrarse a un sujeto para inducir una respuesta inmunitaria. En una realización preferente, las cepas de la presente invención se administran en una formulación farmacéutica.

Las formulaciones farmacéuticas de la presente invención pueden incluir vehículos, excipientes y otros ingredientes, tales como adyuvantes, farmacéuticamente aceptables. Los vehículos, excipientes y otros ingredientes farmacéuticamente aceptables son compuestos, soluciones, sustancias o materiales que son compatibles con las cepas de la presente invención y no son indebidamente perjudiciales para su destinatario. En particular, los vehículos, excipientes y otros ingredientes de la presente invención son aquellos que resultan útiles para preparar una formulación farmacéutica que, en líneas generales, sea segura, no sea tóxica, no sea indeseable desde el punto de vista biológico ni desde otro punto de vista y pueda presentar perfiles farmacológicamente favorables, e incluyen vehículos, excipientes y otros ingredientes aceptables tanto para el uso veterinario como para el uso farmacéutico en humanos.

En el estado actual de la técnica son bien conocidos vehículos y excipientes farmacéuticamente aceptables adecuados, que el técnico en la materia puede determinar según lo justifique la situación clínica. El técnico en la materia entenderá que los diluyentes están incluidos en el alcance de los términos "vehículos" y "excipientes". Entre los ejemplos de vehículos y excipientes adecuados se incluyen: solución salina, solución salina tamponada, dextrosa, agua, glicerol, etanol y más en particular: (1) solución salina tamponada con fosfato de Dulbecco, pH aproximadamente 7,4, que contiene aproximadamente 1 mg/ml a 25 mg/ml de seroalbúmina humana, (2) solución salina al 0,9% (0,9% p/v NaCl), (3) dextrosa al 5% (p/v) y (4) agua.

El modo de administración de las composiciones inmunizadoras de la presente invención puede ser cualquier método y/o medio de suministro adecuado que tenga como resultado la inducción de una respuesta inmunitaria en el sujeto. Los medios de suministro pueden incluir, sin limitación, métodos de administración parenteral, tales como inyección subcutánea (SC), inyección intravenosa (IV), transdérmica, intramuscular (IM), intradérmica (ID), así como de administración no parenteral, por ejemplo oral, nasal, intravaginal, pulmonar (inhalación), oftálmica, rectal, o cualquier otro método que tenga como resultado un contacto de la composición inmunogénica con los tejidos mucosos. La administración es preferentemente vía oral.

En una realización de la presente invención, las composiciones inmunizadoras existen en forma de una dispersión atomizada para el suministro por inhalación. Mediante métodos convencionales pueden prepararse diversas formulaciones líquidas y en polvo para su inhalación en los pulmones del sujeto a tratar. En general, la dispersión atomizada de las composiciones inmunizadoras contiene vehículos habituales para dispersiones atomizadas o en aerosol, tales como solución salina tamponada y/u otros compuestos bien conocidos por el técnico en la materia. El suministro de las composiciones inmunogénicas mediante inhalación tiene el efecto de dispersar rápidamente las

composiciones inmunizadoras en una gran área de los tejidos mucosos, así como de una rápida absorción por la sangre para la circulación de las composiciones inmunizadoras.

Adicionalmente, las composiciones inmunizadoras existen también en forma líquida. El líquido puede ser para la administración vía oral, vía oftálmica o nasal en forma de gotas, o para el uso como enema o irrigación. Si la composición inmunizadora está formulada en forma de líquido, el líquido puede ser bien una solución o bien una suspensión de la composición inmunizadora. Existen diversas formulaciones adecuadas para la solución o suspensión de la composición inmunizadora ya conocidas por el técnico en la materia, que dependen del uso previsto para las mismas. Las formulaciones líquidas para la administración vía oral preparadas en agua u otros vehículos acuosos pueden contener diversos agentes de suspensión, por ejemplo metilcelulosa, alginatos, tragacanto, pectina, kelgina, carragenina, goma arábiga, polivinilpirrolidona y alcohol polivinílico. Las formulaciones líquidas pueden incluir también soluciones, emulsiones, jarabes y elixires que contengan, junto con las composiciones inmunizadoras, agentes humectantes, edulcorantes, colorantes y aromatizantes.

5

10

15

20

25

30

35

45

El suministro de las composiciones inmunizadoras descritas en forma líquida mediante la administración vía oral expone la mucosa de los tractos gastrointestinal y urogenital a las composiciones inmunizadoras. Una dosis adecuada, estabilizada para resistir los valores pH extremos del estómago, suministra la composición inmunizadora en todas las zonas del tracto gastrointestinal, especialmente sus partes superiores. Para el uso con las composiciones inmunizadoras aquí descritas se contemplan cualesquiera métodos adecuados para estabilizar la composición inmunizadora en una dosificación oral líquida de manera que el suministro efectivo de la composición se distribuya a lo largo del tracto gastrointestinal, incluyendo cápsulas y una solución salina tamponada resuspendida para proteger las bacterias atenuadas contra el pH ácido. Los vehículos o diluyentes farmacéuticamente aceptables empleados en concreto no son críticos para la presente invención y son habituales en la técnica actual. Entre los ejemplos de diluyentes se incluyen: tampones para el tamponado contra el ácido gástrico del estómago, tales como tampón citrato (pH 7,0) con contenido en sacarosa, tampón bicarbonato (pH 7,0) solo o tampón bicarbonato (pH 7,0) con contenido en ácido ascórbico, lactosa y opcionalmente aspartamo (Levine y col., Lancet, II:467-470 (1988)). Entre los ejemplos de vehículos se incluyen: proteínas, por ejemplo aquellas se hallan en la leche desnatada; azúcares, por ejemplo sacarosa; o polivinilpirrolidona.

El suministro de las composiciones inmunizadoras descritas en forma líquida por medio de gotas oftálmicas expone la mucosa de los ojos y los tejidos asociados a las composiciones inmunizadoras. Un vehículo líquido típico para las gotas oculares está tamponado y contiene otros compuestos ya conocidos y fácilmente identificables para el técnico en la materia.

El suministro de las composiciones inmunizadoras descritas en forma líquida por medio de aerosol o gotas nasales expone la mucosa de la nariz y los senos y los tejidos asociados a las composiciones inmunizadoras. En general, los vehículos líquidos para las gotas nasales son diversas formas de solución salina tamponada.

Las formulaciones inyectables de las composiciones inmunizadoras pueden contener diversos vehículos, tales como aceites vegetales, dimetilacetamida, dimetilformamida, lactato de etilo, carbonato de etilo, miristato de isopropilo, etanol, polioles (glicerol, propilenglicol y polietilenglicol líquido) y similares. Los excipientes fisiológicamente aceptables pueden incluir, por ejemplo, dextrosa al 5%, solución salina al 0,9%, solución de Ringer u otros excipientes adecuados. Las preparaciones intramusculares pueden disolverse y administrarse en un excipiente farmacéutico tal como agua para inyección, solución salina al 0,9% o solución de glucosa al 5%.

40 Las cepas de S. Paratyphi A atenuadas de la presente invención pueden administrarse a un sujeto junto con otros agentes farmacológica o fisiológicamente activos, por ejemplo sustancias antigénicas y/u otras sustancias biológicamente activas.

Las cepas de S. Paratyphi A atenuadas que comprenden un sistema plasmídico de expresión estabilizado pueden administrarse a un sujeto antes, durante o después de que haya comenzado la expresión del antígeno seleccionado. Por ejemplo, la cepa de S. Paratyphi A atenuada que comprende un sistema plasmídico de expresión estabilizado puede cultivarse durante cierto tiempo antes de su administración a un sujeto, para permitir a las bacterias producir cantidades suficientes del antígeno seleccionado, de manera que al administrarse las bacterias se provoque una respuesta inmunitaria al antígeno seleccionado.

La cantidad y la velocidad de administración de las composiciones inmunizadoras de la presente invención pueden ser fácilmente determinadas por el técnico en la materia sin una excesiva experimentación, por ejemplo utilizando técnicas de determinación por titulación de anticuerpos convencionales y protocolos de bioeficacia/biocompatibilidad convencionales. La cantidad y la velocidad de administración variarán en función de factores tales como el peso y la salud del sujeto, la identidad de las bacterias que se están administrando al sujeto, la identidad del polipéptido expresado en las cepas diseñadas por ingeniería para expresar un antígeno seleccionado, el efecto terapéutico deseado, el intervalo de tiempo de bioactividad deseado y el modo de administración de la composición inmunizadora.

En general, la cantidad de una composición inmunizadora administrada a un sujeto es una cantidad suficiente para inducir en el sujeto una respuesta inmunitaria a una cepa de S. Paratyphi A o al antígeno seleccionado expresado por la cepa de S. Paratyphi A (una cantidad inmunológicamente eficaz). La respuesta inmunitaria es preferentemente una respuesta inmunitaria protectora.

En general, la dosis empleada contendrá entre aproximadamente 10² cfu y 10¹0 cfu de la cepa de S. Paratyphi A, con preferencia entre aproximadamente 10² cfu y 10¹ cfu, o entre aproximadamente 10⁶ cfu y 10⁰ cfu. Las formulaciones para la administración oral comprenden entre aproximadamente 10² cfu y 10¹0 cfu de la cepa de S. Paratyphi A, con preferencia entre aproximadamente 10⁶ cfu y 10⁰ cfu, y la formulación se halla en una cápsula o resuspendida en una solución tampón para proteger las bacterias atenuadas contra el pH ácido del estómago. Las formulaciones para la administración nasal comprenden entre aproximadamente 10² cfu y 10¹0 cfu de la cepa de S. Paratyphi A, con preferencia entre aproximadamente 10² cfu y 10¹ cfu, y se utilizan para una administración intranasal donde las bacterias se suministran en forma de gotas o aerosol.

Las composiciones inmunizadoras pueden administrarse en una única dosis o en múltiples dosis a lo largo de periodos de tiempo prolongados. En particular, las composiciones inmunizadoras pueden administrarse durante un periodo de una semana, dos semanas, tres semanas, un mes, seis semanas, dos meses, diez semanas, tres meses, cuatro meses, seis meses, un año, o durante periodos prolongados de más de un año.

Las composiciones inmunizadoras pueden suministrarse en una unidad de dosificación para lograr una dosificación uniforme y facilitar la administración. Cada forma de unidad de dosificación contiene una cantidad predeterminada de las cepas de la presente invención calculada para producir una respuesta inmunitaria deseada, junto con un vehículo, excipiente u otro ingrediente farmacéuticamente aceptable.

La presente solicitud describe también un kit no reivindicado, que comprende una o más de las composiciones inmunizadoras de la presente solicitud y opcionalmente medios para administrar las composiciones e instrucciones para ello.

E. EJEMPLOS

15

20

25

30

35

40

45

50

55

1. Cepas bacterianas y condiciones de cultivo

Para todas las construcciones plasmídicas se utilizó la cepa de *Escherichia coli* DH5 alfa. La cepa de *S.* Typhi viva atenuada CVD 908-*htrA* contiene mutaciones de deleción en *aroC* y *aroD*, que interrumpen la vía de biosíntesis de compuesto aromático, y *htrA*, que codifica una proteína de respuesta al estrés (véase Infect Immun. 60:2 (1992), pp. 536-541 y J. Biotechnol. 44:1-3 (1996), pp. 193-196). Se adquirió el lote # 11848 de S. Paratyphi A 9150 de American Type Culture Collection (Manassas, VA), que se almacenó como CV 223 y CV 224. En todos los experimentos se utilizó el CV 223.

Se cultivó la *E. coli* DH5 alfa utilizando medio líquido Luria Bertani (LB) o agar (Difco, Detroit, Mich), complementado con los antibióticos carbenicilina (carb; $50 \mu g/ml$), kanamicina (kan; $50 \mu g/ml$) o cloranfenicol (cml; $25 \mu g/ml$) cuando era necesario. Se cultivaron la CVD 908-*htrA* y la S. Paratyphi A 9150 y sus derivados con 2x medio de soja (20 g de peptona Hy-soy, 10 g de extracto de levadura Hy-soy, 3 g de NaCl, $\pm 15 g$ de agar granulado (Difco) por litro) con guanina (0.001% v/v) y antibióticos añadidos cuando era necesario. Los cultivos líquidos se incubaron a 30° C o 37° C, a 250 pm, durante 16-24 pm, a no ser que se indique otra cosa.

El medio mínimo modificado (MMM) utilizado para el análisis de complementación estaba compuesto de sales M9 (K_2HPO_4 , 7 g/l; KH_2PO_4 , 3 g/l; (NH_4) $_2SO_4$, 1 g/l (PV_4), 0,5% (PV_4) de casaminoácidos (PV_4) de glucosa, 0,01% (PV_4) de MgSO $_4$ ·7 PV_4 0, 15 g de agar granulado (PV_4 0) por litro y 1 PV_4 1 μg/ml de vitamina B1.

2. Plásmidos y técnicas de genética molecular

Para la construcción de los plásmidos aquí representados se utilizaron técnicas estándar (véase, por ejemplo, Sambrook y col., 1989). La extracción de plásmidos y la purificación con gel de los fragmentos de ADN se realizaron empleando los kits QIAprep Spin Miniprep y QIAquick Gel Extraction, respectivamente, según las instrucciones del fabricante (Qiagen Inc., Valencia, CA). Se utilizaron los plásmidos pCR-Blunt II-TOPO (Invitrogen, Carlsbad, CA), pGEM®-T o pGEM®-T Easy (Promega, Madison, WI) como productos intermedios para clonar productos de reacción en cadena de la polimerasa (PCR) de extremo romo generados con VentTM DNA Polymerase (New England Biolabs, Ipswich, MA). El plásmido pLowBlu 184 (E.M. Barry, datos no publicados; CVD, University of Maryland, Baltimore) es un plásmido de bajo número de copias que está basado en pACYC184 (ATCC), pero que contiene la secuencia del operón lactosa de pGEM®-5Zf(+) (2767 - 273 pb; Promega, Madison, WI) en lugar del gen de resistencia a la tetraciclina entre *Aval* y *HindIII*. Se utilizó ADN polimerasa Taq-Pro™ (Denville Sci., Metuchen, NJ) para una mutagénesis mediada por lambda Red, y para una PCR de diagnóstico utilizando 5 μl de una única colonia bacteriana diluida en 20 μl de agua estéril. La ADN polimerasa Taq-Pro™ se utilizó también para añadir a la PCR de tratamiento previo fragmentos generados mediante ADN polimerasa VentTM antes de clonar en pGEM®-T o pGEM®-T Easy. Todas las enzimas de restricción se adquirieron de New England Biolabs. Se utilizó ADN polimerasa T4

(NEB) para crear fragmentos de ADN de extremo romo. Se realizó una electroporación de cepas en un aparato Gene Pulser (Bio-Rad) ajustado a 2,5 kV, 200 Ω y 25 μ F. Los marcadores de peso molecular empleados en la electroforesis en gel de ADN son O'GeneRuler 1 kb DNA Ladder, ready-to-use (#SM1163, Fermentas, Hanover, MD).

5 <u>3. Mutagénesis mediada por Lambda Red</u>

Esta técnica se realizó según describen Datsenko y Wanner (Proc Natl Acad Sci USA, 6 de junio de 2000; 97(12):6640-50), con ciertas modificaciones. Resumiendo, se añadieron 10 colonias de bacterias que llevaban el plásmido auxiliar de Red pKD46 (remitimos al lector a la referencia de Datsenko y Wanner para más información sobre este plásmido) a 20 ml de 2x medio de soja, complementado con carbenicilina y L-arabinosa (0,2%), y se cultivaron a 30°C, 250 rpm, durante 3 horas (OD 600 nm de ~ 0,6). Se volvieron las bacterias electrocompetentes lavando 3 veces con aqua estéril fría y concentrando en un factor de 100. Se sometieron las células competentes a una electroporación con 100 ng - 1 µg de producto de PCR purificado en gel. Después de la electroporación, se repararon las bacterias utilizando 2x medio de soja con o sin guanina. Se incubaron las células en 2x medio de soja a 37°C, durante 3 horas, antes de cultivarlas en placas de 2x agar de soja con contenido en guanina y cml durante la noche. Se seleccionaron colonias resistentes a los antibióticos y se cribaron mediante PCR en cuanto a alteraciones en las regiones cromosómicas de interés. Las colonias positivas se extendieron de nuevo en líneas sobre 2x medio de soja que contenía cml, pero no contenía carbenicilina, para asegurar la pérdida de pKD46. La retirada del casete de resistencia a cml se realizó según describen Datsenko y Wanner e implicó la utilización de pCP20. Las colonias que presentaban el genotipo deseado se extendieron de nuevo en líneas sobre 2x medio de soja sin antibióticos para asegurar la pérdida del fenotipo de resistencia a los antibióticos. Las seleccionadas para el almacenamiento se cribaron de nuevo mediante PCR antes de congelarlas a -70°C en 2x medio de soja que contenía glicerol al 20%

4. Aglutinación

10

15

20

Se ensayaron cepas de S. Paratyphi A con sueros comerciales (DifcoTM Salmonella O Antiserum Group A, Becton Dickson, Sparks, MD, lote # 4092221). Resumiendo, un pequeño inóculo de bacterias tomado de una placa fresca se emulsionó en 20 μl de PBS en un portaobjetos de cristal. Se añadieron 5 μl de antisueros y se agitó el portaobjetos suavemente hasta observarse aglutinación. Como bacterias de control negativo se utilizó la cepa vacunal de *S. flexneri* CVD 1208 (J Infect Dis. 15 de noviembre de 2004; 190(10):1745-54) o *E. coli* DH5 alfa.

5. Evaluación de virulencia mediante inoculación intraperitoneal de ratones

30 Se evaluó la virulencia de la Salmonella según se ha descrito previamente en Infect Immun. agosto de 2001; 69(8):4734-41. Resumiendo, a ratones BALB/c hembra (Charles River Breeding Laboratories, Inc., Wilmington, Mass.), de 6 a 8 semanas de edad (tres ratones por grupo, tres grupos por cepa vacunal), se les inyectaron vía intraperitoneal (i.p.) diversas diluciones en un factor de 10 de las bacterias (cultivadas en presencia de guanina y antibióticos cuando era necesario, y resuspendidas en solución salina tamponada con fosfato PBS), mezcladas con mucina gástrica de cerdo al 10% (peso/volumen) (Difco, lote #4092018) en un volumen final de 0,5 ml. Los ratones se observaron en cuando a una cercanía extrema a la muerte o la muerte, cada 24 horas durante 72 horas después de la inoculación. La dosis 50% letal (LD50) para cada grupo de ratones se calculó mediante análisis de regresión lineal.

6. Construcción de una deleción en guaBA.

- La secuenciación del genoma de S. Paratyphi A estaba incompleta al comienzo de este proyecto. Por tanto, todos los cebadores de oligonucleótidos y moldes de ADN subsiguientes para la mutagénesis mediada por Lambda Red se construyeron en base a la secuencia genómica de S. Typhi Ty2 anotada (número de registro Genbank NC_004631, versión del 16 de diciembre de 2004). La comparación de las secuencias de las regiones mutadas en S. Paratyphi A con las de S. Typhi reveló más de un 99% de identidad de la secuencia de ADN.
- Los genes que codifican inosina-5'-monofosfato deshidrogenasa (*guaB*) y guanosina monofosfato sintetasa (*guaA*) forman un operón y están situados en los pb 414059 a 417178 en el genoma de S. Typhi Ty2 (SEQ ID nº: 26; véase también la patente US nº 6.190.669 para información detallada con relación a los loci *guaBA*). Los cebadores CVOL 13 y CVOL 15 (tabla 1) se unen a secuencias fuera de la región designada para la mutación. Se diseñaron los cebadores CVOL 28 y CVOL 32 para la unión a las regiones del plásmido molde de Lambda Red pKD3. El producto de PCR resultante codificaba un cartucho de resistencia a cml flanqueado a cada lado por 100 pb de secuencia homóloga a *guaBA* en las posiciones 413846 a 413945 (CVOL 28) y 417109 a 417010 (CVOL 32) en el genoma de S. Typhi Ty2, respectivamente.

Tabla 1

	I adia 1			
ombre ^e	Secuencia ^a	SE(Di ID NO:	ana ^{get} F	Región ^b
CVOL 13	CTGCAGTCATTCCCACTCAATGGTAGC	4	Ty2	417176 - 417158
CVOL 15	GGAACATCGCACAGCGCA	5	Ty2	413715 - 413732
CVOL 26	GTGTAGGAGCTGCTTCG	6	pKD3	31 - 50
CVOL 27	<u>CATATG</u> AATATCCTCCTTAG	7	pKD3	1044 - 1025
CVOL 28	CGAACCGTCTGGTTAAGGCGGCTTACGGTAAAAAT TGAGGAAGTTTGAGAGGATAACATGTGAGCGGGAT CAAATTCTAAATCAGCAGGTTATTCAATCGTGTAG GCTGGAGCTGCTTC	8	pKD3	31 - 50
CVOL 32	TTCATTGATGATGCGGTTGGAAACACGACCCAGGA AGTCATACGGCAGGTGCGCCCAGTGCGCGGTCATA AAGTCGATGGTTTCGACAGCACGCAGAGCATAT GAATATCCTCCTTAG	9	pKD3	1044 - 1025
CVOL41	GAAGGAGTATTGCCCATGCTACGTATCG	10	Ty2	414057 - 414077
CVOL 64	<u>CATATG</u> AAGGAGTATTGCCCATGCT ACGTATCGCTAAAGAAG	11	Ty2	414057 - 414086
CVOL 65	ATGCATCTGCAGTCATTCCCACTCAA TGGTAGCCGG	12	Ty2	417176-417155
CVOL 85	ACAGATAAACGCAAAGATGGCTCGGGCAAA	13	Ty2	2484865 - 2484836
CVOL 86	TTATTCGCCAGAAGCCTGCGCTTCCGGTTT	14	Ty2,	2483597 - 2483626
CVOL 87	CCTGAGAATGGCATTTGCGTCGTCGTGTGC	15	Ty2	2484929 -
				2484900
CVOL 88	ACGGCGTGTTTACAGGAAAACGAAAGGGG	16	Ty2	2483520 - 2483549
CVOL89	TCATACAGCGGAGAACGAGATAATTTGGCC	17	Ty2	2485740 - 2485711
CVOL 90	TTACATAAGTAAGTCACTGGGAGGCGCGCT	18	Ty2	2485027 - 2485056
CVOL 91	TCCATCAGGTTACAATCAGTACAGCAGATT	19	Ty2	2485800 - 2485771
CVOL 92	TCATTAGTATACACAAAATCATTCGAGC	20	Ty2	2484961 - 2484990
CVOL 122	GCGGCCGCGAAGGAGACGGAAA TGTCATACAGCGGAGAACGAG	21	Ty2	2485752 - 2485722

CVOL 123	TCGCGAGAATTCTTACATAAGTAAG TCACTGGGAGGCGCGCT	22	Ty2	2485024 - 2485056
CVOL 124	GCGGCCGCGAAGGAGTTTGACTCATG ACAGATAAACGCAAAGATG	23	Ty2	2484876 - 2484847
CVOL 125	<u>CATATG</u> TTATTCGCCAGAAGCC TGCGCTTCCGGTTT	24	Ty2	2483597 - 2483626
CVOL 128	GCGGCCGCTTACATAAGTAAGT CACTGGGAGGCGCGCT	25	Ty2	2485024 - 2485056

a. Los cebadores son en la dirección 5' > 3' con los sitios de corte de enzima de restricción subrayados. b. Indica región de homología con genoma de S. Typhi Ty2 (nº reg. genbank NC_004631) o plásmido pKD3 (nº reg. genbank AY048742).

La cepa S. Paratyphi A 9150 se hizo electrocompetente y se transformó con pKD46, lo que tuvo como resultado la cepa CV 250. Se realizó una mutagénesis por Lambda Red en CV 250 utilizando el producto de PCR generado empleando los cebadores CVOL 28 y CVOL 32 con el molde pKD3 que contenía un marcador de resistencia a cml (véase la referencia de Datsenko y Wanner para más información sobre este plásmido). Los transformantes se cultivaron en placas a 37°C y los que presentaban resistencia a cml se cribaron mediante PCR utilizando CVOL 13 y CVOL 15. Se descubrió que el quaBA no modificado amplificado de S. Paratyphi A 9150 era - 3,5 kb (Figura 1, línea 1), mientras que se halló un fragmento de ~1,4 kb en dos clones con una región guaBA mutada (Figura 1, líneas 2 y 3). Estos mutantes se denominaron CV 411 y CV 412, respectivamente. Un tratamiento de estos mutantes con pCP20 (véase la referencia de Datsenko y Wanner para más información sobre este plásmido) liberó el cartucho de resistencia a cml. Se analizaron cuatro elementos de deleción mediante PCR con los cebadores CVOL 13 y CVOL 15 y se descubrió que tenían una banda de ~ 0,5 kb (Figura 2, líneas 2 - 4) en comparación con un progenitor de guaBA::cml (Figura 2, línea 1). Los elementos de deleción de guaBA de S. Paratyphi A 9150 resultantes se denominaron CV 415 - CV 418. La región guaBA mutada en CV 415 se amplificó por PCR con CVOL 15 y CVOL 13 y el producto secuenciado (secuencia de polinucleótidos SEQ ID nº: 1); las regiones 5' y 3' de SEQ ID nº: 1 son homólogas a guaBA, mientras que la región central es homóloga a pKD3. Se eligió la cepa CV 415 para todos los estudios subsiguientes.

7. Complementación in vitro de la deleción en guaBA

10

15

35

40

45

S. Paratyphi A 9150 contiene una auxotrofía indefinida, lo que la hace incapaz de crecer en un medio mínimo sin la adición de casaminoácidos. La cepa 11511 de ATCC y una CVD S. Paratyphi A aislado 516 también son incapaces de crecer en un medio mínimo, lo que sugiere que contienen la misma auxotrofía encontrada en S. Paratyphi A 9150.

Para demostrar que la mutagénesis mediada por Lambda Red tenía como diana sólo *guaBA* en CV 415, se diseñó un plásmido basado en pLowBlu 184 (bajo número de copias) que contenía un fragmento mínimo que codificaba *guaBA* bajo el control del promotor lactosa (*P*_{lacZ}). Se utilizaron los cebadores CVOL 13 y CVOL 14 para amplificar un fragmento de - 3,1 kb que codificaba *guaBA* con un sitio de unión ribosómica optimizado (GAAGGAG) 8 pb corriente arriba del codón de inicio, utilizando el cromosoma de CVD 908-*htrA* como molde. Este fragmento se subclonó en pGEM®-T Easy y se escindió con *Eco*RI, se enromó con ADN polimerasa T4 y se clonó en el sitio *Not*l de pLowBlu 184, creando pATGguaBA (almacenado en CV 295).

Se sometió CV 415 a electroporación bien con pATGguaBA o bien con pLowBlu 184 (control) y se cultivó en placas sobre 2x medio de soja que contenía guanina y cml, creando las cepas CV 486 y CV 487, respectivamente. El 2x medio de soja sin guanina es capaz de soportar el crecimiento de S. Paratyphi A con deleción de *guaBA*. Unas colonias individuales de cada una se extendieron de nuevo en líneas sobre MMM que contenía cml y se incubaron a 37°C durante la noche. Como se muestra en la Figura 3, CV 486 era capaz de crecer en MMM (placa 2), a diferencia del control (CV 487; placa 1), lo que indica que el fragmento mínimo clonado en pATGguaBA era capaz de complementar la deleción de *guaBA* del cromosoma de CV 415.

8. Construcción de deleciones secundarias en CV 415

Con el fin de minimizar la reversión de *S.* Paratyphi A 9150 con deleción de *guaBA* a un genotipo de tipo salvaje (wt), se fijaron como diana genes adicionales como marcadores de atenuación secundarios. Estos genes eran *clpP* y *clpX*, que codifican una serina proteasa y una chaperona ATPasa, respectivamente (analizados en Structure (Camb). febrero de 2004; 12(2):175-83). Se ha comprobado que la interrupción de *clpP* y/o *clpX* reduce considerablemente el potencial de colonización de *Salmonella* Typhimurium en ratones (Infect Immun. mayo de 2001; 69(5):3164-74). En *S.* Typhi Ty2, *clpX* (SEQ ID nº: 39) y *clpP* (SEQ ID nº: 40) están ambos situados entre 2483597 y 2485743 (SEQ ID nº: 27) en la cadena complementaria del cromosoma, respectivamente, y son expresados por promotores individuales. Se sometió S. Paratyphi A 9150 wt también a una mutagénesis, de manera

que pudiera evaluarse en ratones la virulencia de mutantes que contenían deleciones individuales bien en *clpX* o bien en *clpP*.

Para delecionar *clpX*, se diseñaron los cebadores CVOL 85 y 86 con el fin de amplificar un fragmento de ~ 1,3 kb que codifica *clpX* sin un codón de inicio de CVD 908-htrA. Este fragmento se purificó en una columna, se trató con ADN polimerasa Taq-Pro™ y se clonó en pGEM®-T (almacenado en CV 472). El vector resultante, pGEM®-T::*clpX*, se digirió con *Nrul* y *Eco*RI para eliminar un fragmento de - 0,9 kb y se trató con ADN polimerasa T4 para crear extremos romos. Un cartucho de cml aislado de pCR-Blunt II-TOPO como un fragmento de *Eco*RI se enromó y se insertó en pGEM®-T::*clpX*. Este cartucho de cml se había creado previamente mediante PCR utilizando CVOL 25 y CVOL 26 con pKD3 como molde (almacenado en CV 134). Después de una ligación y una transformación, se empleó una PCR con los cebadores CVOL 26 y CVOL 85 para confirmar la inserción del cartucho de cml en la orientación correcta para la mutagénesis por Lambda Red. Se identificó un clon positivo, denominado pGEM®-T::(*clpX::cml*) y almacenado como CV 481.

5

10

15

20

25

30

35

40

45

50

55

Se transformó S. Paratyphi A con deleción de *guaBA* (CV 415) con pKD46 y se almacenó como CV 421. Se sometieron CV 421 y CV 250 (S. Paratyphi A 9150 wt transformada con pKD46) a una mutagénesis por Lambda Red con un producto de PCR de ~ 1,4 kb amplificado a partir de pGEM®-T::(*clpX*:cml) utilizando CVOL 85 y CVOL 86. Se aislaron mutantes resistentes a cml y se cribaron por PCR con CVOL 87 y CVOL 88, que se unen a regiones fuera de las homólogas a CVOL 85 y CVOL 86. Los mutantes que presentaban un perfil PCR correcto se seleccionaron para un tratamiento con pCP20 con el fin de eliminar el cartucho de cml. La Figura 4 muestra que los mutantes que contenían un gen *clpX* alterado presentaban una banda más pequeña de ~ 0,6 kb por PCR (panel A, líneas 1 - 6), comparada con la hallada en S. Paratyphi A 9150 inalterada (panel A, línea 7). Un análisis por PCR de las mismas cepas con CVOL 13 y 15 confirmó que *guaBA* se había delecionado sólo de las cepas derivadas de CV 415 y no de CV 250 (panel B, líneas 4 - 6, comparadas con las líneas 1 - 3 y 7). Los mutantes que carecían de *clpX*, y tanto *clpX* como *guaBA*, se almacenaron como CV 532 y CV 534, respectivamente. La región *clpX* mutada en CV 532 y CV 534 se amplificó por PCR con los cebadores CVOL 87 y CVOL 88 y el producto se secuenció (SEQ ID nº: 2); las regiones 5' y 3' de SEQ ID nº: 2 son homólogas a *clpX*, mientras que la región central es homóloga a pKD3.

Para delecionar *clpP*, se diseñaron CVOL 89 y 90 con el fin de amplificar un fragmento de ~ 0,7 kb que codifica *clpP* sin un codón de inicio de CVD 908-htrA. Este fragmento se purificó en una columna y se clonó en pGEM®-T, creando pGEM®-T::*clpP* (almacenado como CV 470). Se digirió pGEM®-T::*clpP* con *Pst*l y *Nsi*l, se trató con ADN polimerasa T4 y se ligó de nuevo (creando pGEM®-T::*clpP*m, almacenado como CV 484) con el fin de eliminar los sitios *Nde*l y *Hinc*II de la estructura principal del vector. A continuación se digirió pGEM®-T::*clpP*m con *Nde*l y *Hinc*II para eliminar fragmentos de ADN con un tamaño total de ~ 0,5 kb, y se trató con ADN polimerasa T4. De manera similar a lo arriba mencionado, un cartucho de cml aislado de pCR-Blunt II-TOPO como un fragmento de EcoRI se trató con ADN polimerasa T4 y se utilizó para sustituir los fragmentos eliminados de pGEM®-T::*clpP*m. Después de una ligación y una transformación, se empleó una PCR con los cebadores CVOL 26 y CVOL 85 para confirmar la inserción del cartucho de cml en la orientación correcta para la mutagénesis por Lambda Red. Se identificó un clon positivo, denominado pGEM®-T::*clpP*m::cml) y almacenado como CV 501.

Se sometieron S. Paratyphi A 9150 wt y con deleción de *guaBA* que contenían pKD46 (CV 250 y CV 421, respectivamente) a una mutagénesis por Lambda Red con un producto de PCR de ~ 1,4 kb amplificado de pGEM[®]-T::(*clpP*m::cml) utilizando CVOL 89 y CVOL 90. Se aislaron mutantes resistentes a cml y se cribaron por PCR con CVOL 91 y CVOL 92, que se unen a regiones fuera de las homólogas a CVOL 89 y CVOL 90. Los mutantes que presentaban un perfil PCR correcto se seleccionaron para un tratamiento con pCP20 con el fin de eliminar el cartucho de cml.

La Figura 5 muestra que los mutantes que contenían un gen *clpP* alterado presentaban una banda más pequeña de ~ 0,4 kb por PCR (panel A, líneas 1 - 6), comparada con la hallada en *S.* Paratyphi A 9150 inalterada (panel A, línea 7). Un análisis por PCR de las mismas cepas utilizando los cebadores CVOL 13 y 15 confirmó que *guaBA* se había delecionado sólo de las cepas derivadas de CV 415 y no de las basadas en CV 250 (panel B, líneas 4 - 6, comparadas con las líneas 1 - 3 y 7). Los mutantes que carecían de *clpP*, y tanto *clpP* como guaBA, se almacenaron como CV 528 y CV 530, respectivamente. La región *clpP* mutada en CV 528 y CV 530 se amplificó por PCR con los cebadores CVOL 87 y CVOL 88 y el producto se secuenció (secuencia de polinucleótidos SEQ ID nº: 3); las regiones 5' y 3' de SEQ ID nº: 3 son homólogas a *clpP*, mientras que la región central es homóloga a pKD3.

9. Construcción de plásmidos de bajo número de copias para análisis de complementación

Como se ha hecho más arriba, para confirmar que la mutagénesis mediada por Lambda Red tenía como diana sólo loci específicos, se diseñaron plásmidos monocistrónicos o bicistrónicos basados en pLowBlu 184 (bajo número de copias) que contenían fragmentos mínimos que codificaban *clpX* o *clpP*, o *guaBA* inmediatamente corriente abajo de *clpX* o *clpP*. La expresión constitutiva de los genes en estos plásmidos se dirigió mediante P_{lacZ}.

Se utilizaron los cebadores CVOL 64 y CVOL 65 para amplificar por PCR *guaBA* de CVD 908-*htrA* que contenía un sitio de unión ribosómica mejorado, con los sitios de restricción *Nde*l y *Nsi*l en los extremos 5' y 3', respectivamente. El producto se purificó en una columna y se ligó en pCR-Blunt II-TOPO (almacenado como CV 394), se extrajo como

un fragmento de ~ 3,5 kb *Ndel - Nsī*l y se clonó en los sitios *Ndel - Nsī*l en pLowBlu 184, creando pguaBAV.2 (almacenado como CV 482).

Con el fin de crear un plásmido de bajo número de copias que codificara *clpP*, se utilizaron los cebadores CVOL 122 y CVOL 123 para amplificar *clpP* con un sitio de unión ribosómica mejorado de CVD 908-*htrA*, con sitios *Not*l y *Nru*l en los extremos 5' y 3', respectivamente. El producto de ~ 0,7 kb se purificó en una columna y se ligó en pCR-Blunt II-TOPO (almacenado como CV 567), se extrajo como un fragmento *Not*l - *Nru*l y se ligó en pLowBlu 184, previamente cortado con *Not*l y *Nde*l, creando pATGclpP (almacenado como CV 584). Con el fin de construir un plásmido bicistrónico que contuviera *clpP* y *guaBA*, se diseñaron los cebadores CVOL 122 y CVOL 128 para amplificar *clpP* con un sitio de unión ribosómica mejorado de CVD 908-*htrA*, con sitios *Not*l tanto en el extremo 5' como en el extremo 3'. El producto de 0,7 kb se purificó en una columna y se ligó en pCR-Blunt II-TOPO (almacenado como CV 600), se extrajo como un fragmento *Not*l y se ligó en pguaBAV.2, previamente cortado con *Not*l, creando pATGclpPATGguaBA (almacenado como CV 603).

Con el fin de crear un plásmido de bajo número de copias que codificara *clpX*, se utilizaron los cebadores CVOL 124 y CVOL 125 para amplificar *clpX* con un sitio de unión ribosómica mejorado de CVD 908-*htrA*, con sitios *Not*l y *Nde*l en los extremos 5' y 3', respectivamente. El producto de ~ 1,3 kb se purificó en columna y se ligó en pCR-Blunt Il-TOPO (almacenado como CV 569), se extrajo como un fragmento *Not*l - *Nde*l y se ligó bien en pLowBlu 184 o bien en pguaBAV.2, ambos previamente cortados con *Not*l y *Nde*l, creando pATGclpX (almacenado como CV 582) y pATGclpXATGquaBA (almacenado como CV 573).

10. Evaluación de la virulencia de S. Paratyphi A y mutantes en ratones

Se realizaron estudios LD_{50} para comparar la virulencia de S. Paratyphi A 9150 wt con la de cada mutante en ratones inyectados por vía intraperitoneal.

La Figura 6 muestra los datos LD_{50} obtenidos al inyectar a ratones S. Paratyphi A wt y con deleción de guaBA. S. Paratyphi A wt tiene un valor LD_{50} < 10 bacterias por ratón. En cambio, S. Paratyphi A con deleción de guaBA tenía un valor LD_{50} - 4,5 log. mayor. La complementación del mutante guaBA con pLowBlu 184 no alteró el valor LD_{50} , mientras que la transformación con pATGguaBA restauró la virulencia similar a la del tipo salvaje.

La Figura 7 muestra los datos LD $_{50}$ obtenidos al inyectar a ratones S. Paratyphi A wt, S. Paratyphi A con deleción de clpx o S. Paratyphi A con deleción de clpx-guaBA. Los valores LD $_{50}$ de S. Paratyphi A wt y con deleción de guaBA concordaban con los obtenidos anteriormente. S. Paratyphi A con deleción de clpx mostró un valor LD $_{50} \sim 1$ log mayor que los mutantes guaBA, lo que indicaba que una deleción en clpx no era tan atenuante como la efectuada en guaBA. La complementación de las cepas con deleción de clpx o las cepas con deleción de clpx-guaBA con pLowBlu 184 no tuvo efecto alguno, mientras que la transformación con pATGclpX y pATGclpXATGguaBA, respectivamente, restauró la virulencia similar a la del tipo salvaje.

La Figura 8 muestra los datos LD₅₀ obtenidos de ratones a los que se les había inyectado *S*. Paratyphi A wt, *S*. Paratyphi A con deleción de *clpP* o *S*. Paratyphi A con deleción de *clpP-guaBA*. Los valores LD₅₀ de *S*. Paratyphi A wt y con deleción de *guaBA* concordaban con los obtenidos anteriormente. Al igual que la cepa con deleción de *clpX*, *S*. Paratyphi A con deleción de *clpP* mostró una virulencia aumentada en relación con el mutante *guaBA*. Esto indicaba que una deleción en *clpP* no era tan atenuante como la efectuada en *guaBA*. La complementación de las cepas con deleción de *clpX* o las cepas con deleción de *clpX-guaBA* con pLowBlu 184 no tuvo efecto alguno en la virulencia. La transformación de estas cepas con pATGclpP y pATGclpPATGguaBA, respectivamente, no restauró por completo la virulencia del tipo salvaje. Sin ceñirse a ninguna teoría, la expresión regulada de *clpP*, a diferencia de la expresión no regulada como la codificada por pATGclpP y pATGclpPATGguaBA, se requiere para complementar totalmente la mutación *clpP*.

Documentos citados

5

10

15

25

30

35

40

45

50

55

Las descripciones de las siguientes referencias son todas las publicaciones, patentes, libros, artículos y otros documentos mencionados y expuestos a lo largo de toda esta solicitud.

Levine MM, Herrington D, Murphy JR, Morris JG, Losonsky G, Tall B, Lindberg A, Svenson S, Baqar S, Edwards MF, Stocker B. Safety, infectivity, immunogenicity and in vivo stability of two attenuated auxotrophic mutant strains of Salmonella Typhi, 541Ty and 543Ty, as live oral vaccines in man. J Clin Invest 79:888-902, 1987. Levine MM, Ferreccio C, Black RE, Chilean Typhoid Committee, Germanier R. Large-scale field trial of Ty21a live

Levine MM, Ferreccio C, Black RE, Chilean Typhoid Committee, Germanier R. Large-scale field trial of Ty21a live oral typhoid vaccine in enteric-coated capsule formulation. Lancet I:1049-1052, 1987.

Ferreccio C, Levine MM, Rodriguez H, Contreras R, Chilean Typhoid Committee. Comparative efficacy of two, three, or four doses of Ty21A live oral typhoid vaccine in enteric-coated capsules: a field trial in an endemic area. J Infect Dis 159:766-769, 1989.

Levine MM, Ferreccio C, Black RE, Tacket CO, Germanier R Progress in vaccines against typhoid fever. Rev Infect Dis 2 (supplement 3):S552-S567, 1989.

- Van de Verg L, Herrington DA, Murphy JR, Wasserman SS, Formal SB, Levine MM. Specific IgA secreting cells in peripheral blood following oral immunization with bivalent Salmonella Typhi/Shigella sonnei vaccine or infection with pathogenic S. sonnei in humans. Infect Immun 58:2002-2004, 1990.
- Levine MM, Hone D, Heppner DG, Noriega F, Sriwathana B. Attenuated Salmonella as carriers for the expression of foreign antigens. Microecology and Therapy 19:23-32, 1990.
 - Herrington DA, Van De Verg L, Formal SB, Hale TL, Tall BD, Cryz SJ, Tramont EC, Levine MM. Studies in volunteers to evaluate candidate Shigella vaccines: further experience with a bivalent Salmonella Typhi-Shigella sonnei vaccine and protection conferred by previous Shigella sonnei disease. Vaccine 8:353-357, 1990.
- Cryz SJ, Levine MM, Kaper JB. Randomized double-blind placebo-controlled trial to evaluate the safety and immunogenicity of the live oral cholera vaccine strain CVD 103-HgR in adult Swiss. Vaccine 8:577-580, 1990.
 - Levine MM, Ferreccio C; Cryz S, Ortiz E. Comparison of enteric-coated capsules and liquid formulation of Ty21a typhoid vaccine in a randomized controlled field trial. Lancet 336:891-894, 1990.
 - Servos S, Chatfield S, Hone D, Levine MM, Dimitriadis G, Pickard D, Dougan G, Fairweather N, Charles I. Molecular cloning and characterization of the aroD gene encoding 3-dehydroguinase from Salmonella Typhi. J Gen Micro 137:147-152, 1990.
 - Levine MM, Hone D, Tacket C, Ferreccio C, Cryz S. Clinical and field trials with attenuated Salmonella Typhi as live oral vaccines and as "carrier vaccines". Res Microbiol 141:807-816, 1990.

 Black RE, Levine MM, Ferreccio C, Clements ML, Lanata C, Rooney J, Germanier R, y el Chilean Typhoid

15

55

- Black RE, Levine MM, Ferreccio C, Clements ML, Lanata C, Rooney J, Germanier R, y el Chilean Typhoid Committee. Efficacy of one or two doses of Ty21a Salmonella Salmonella Typhi vaccine in enteric-coated capsules in a controlled field trial. Vaccine 8:81-84, 1990.
- a controlled field trial. Vaccine 8:81-84, 1990.

 Tacket CO, Losonsky G, Taylor DN, Baron L, Kopeck D, Cryz S, Levine MM. Lack of immune response to the Vi component of a Vi-positive variant of the Salmonella Typhi live oral vaccine strain Ty21a in volunteer studies. J Infect Dis 163:901-904, 1991.
- Hone DM, Harris AM, Chatfield S, Dougan G, Levine MM. Construction of genetically-defined double aro mutants of Salmonella Typhi. Vaccine 9:810-816, 1991.
 - Tacket CO, Hone DM, Curtiss R III, Kelly SM, Losonsky G, Guers L, Harris AM, Edelman R, Levine MM. Comparison of the safety and immunogenicity of ΔaroC ΔaroD and Δcya Δcrp Salmonella typhi strains in adult volunteers. Infect Immun 60:536-541, 1992.
- Tacket CO, Hone DM, Losonsky G, Guers L, Edelman R, Levine MM. Clinical acceptability and immunogenicity of CVD 908 Salmonella Typhi vaccine strain. Vaccine 10:443-446, 1992.
 - Hone DM, Tacket CO, Harris AM, Kay B, Losonsky G, Levine MM. Evaluation in volunteers of a candidate live oral attenuated Salmonella Typhi vaccine. J Clin Invest 90:412-420, 1992.
 - Olanratmanee T, Levine MM, Losonsky GA, Thisyakom U, Cryz SJ Jr. Safety and immunogenicity of Salmonella Typhi Ty21 a liquid formulation vaccine in 4- to 6-year-old Thai children. J Infect Dis 166:451-452, 1992.
- Chatfield SN, Fairweather N, Charles I, Pickard D, Levine MM, Hone D, Posada M, Strugnell RA, Dougan G. Construction of a genetically defmed Salmonella Typhi Ty2 aroA, aroC mutant for the engineering of a candidate live oral typhoid-tetanus vaccine. Vaccine 10:8-11, 1992.
 - Cryz SJ Jr, Vanprapar N, Thisyakorn U, Olanratamanee T, Losonsky G, Levine MM, Chearskul S. Safety and immunogenicity of Salmonella Typhi Ty21a vaccine in young children. Infect Immun 61:1149-115, 1993.
- Gonzalez C, Hone D, Noriega F, Tacket CO, Davis JR, Losonsky G, Nataro JP, Hoffman S, Malik A, Nardin E, Sztein MB, Heppner DG, Fouts TR, Isibasi A, Levine MM. Salmonella Typhi strain CVD 908 expressing the circumsporozoite protein of Plasmodium falciparum: strain construction, safety and immunogenicity. J Infect Dis 169:927-931, 1994.
- Sztein MB, Wasserman SS, Tacket CO, Edelman R, Hone D, Lindberg AA, Levine MM. Cytokine production patterns and lymphoproliferative responses in volunteers orally immunized with attenuated vaccine strains of Salmonella Typhi. J Infect Dis 170:1508-1517, 1994.
 - Hone DM, Harris AM, Lim V, Levine MM. Construction and characterization of isogenic O-antigen variants of Salmonella Typhi. Molec Microbiol 13:525-530, 1994.
- Pickard D, Li J, Roberts M, Maskell D, Hone D, Levine M, Dougan G, Chatfield S. Characterization of defined ompR mutants of Salmonella Typhi: ompR is involved in the regulation of Vi polysaccharide expression. Infect Immun 62:3984-3993, 1994.
 - Noriega FR, Wang JY, Losonsky G, Maneval DR, Hone DM, Levine MM. Construction and characterization of attenuated ΔaroA ΔvirG Shigella flexneri 2a strain CVD 1203, a prototype live oral vaccine. Infect Immun 62:5168-5172, 1995.
 - Gómez-Duarte, OG, Galen J, Chatfield SN, Rappuoli R, Eidels L, Levine MM. Expression of fragment C of tetanus toxin fused to a carboxyl-terminal fragment of diphtheria toxin in Salmonella Typhi CVD 908 vaccine strain. Vaccine 13:1596-1602, 1995.
- Cryz SJ Jr, Que JU, Levine MM, Wiedermann G, Kollaritsch H. Safety and immunogenicity of a live oral bivalent typhoid fever (Salmonella Typhi-Ty21a) cholera (Vibrio cholerae CVD 103-HgR) vaccine in healthy adults. Infect Immun 63:1336-1339, 1995.
 - Sztein MB, Tanner MK, Polotsky Y, Orenstein JM, Levine MM. Cytotoxic T lymphocytes after oral immunization with attenuated strains of Salmonella Typhi in humans. J Immunol 155:3987-3993, 1995.
- Levine MM, Galen J, Barry E, Noriega F, Chatfield S, Dougan G, Tacket C. Attenuated Salmonella as live oral vaccines against typhoid fever and as live vectors. J Biotechnology 44:193-196, 1995.

- Noriega FR, Losonsky G, Wang JY, Formal SB, Levine MM. Further characterization of Δ aroA, Δ virG Shigella flexneri 2a strain CVD 1203 as a mucosal Shigella vaccine and as a live vector for delivering antigens of enterotoxigenic Escherichia coli. Infect Immun 64:23-27, 1996.
- Noriega FR, Losonsky G, Lauderebaugh C, Liao FM, Wang JY, Levine MM. Engineered ΔguaBA ΔvirG Shigella flexneri 2a strain CVD 1205: construction, safety, immunogenicity, and potential efficacy as a mucosal vaccine. Infect Immun 64:3055-3061, 1996.
 - Kotloff K, Noriega F, Losonsky G, Sztein MB, Nataro JP, Levine MM. Safety, immunogenicity and transmissibility in humans of CVD 1203, a live oral Shigella flexneri 2a vaccine candidate attenuated by deletions in aroA and virG. Infect Immun 64:4542-4548, 1996.
- Barry EM, Gomez-Duarte O, Chatfield S, Rappuoli R, Losonsky GA, Galen JE, Levine MM. Expression and immunogenicity of pertussis toxin S1 subunit-tetanus toxin fragment C fusions in Salmonella Typhi vaccine strain CVD 908. Infect Immun 64:4172-4181, 1996.
 - Tacket CO, Sztein MB, Losonsky GA, Wasserman SS, Nataro JP, Edelman R, Galen JE, Pickard D, Dougan G, Chatfield SN, Levine MM. Safety of live oral Salmonella Typhi vaccine strains with deletions in htrA and aroC aroD and immune response in humans. Infect Immun 65:452-456, 1997.
- and immune response in humans. Infect Immun 65:452-456, 1997.

 Levine MM, Galen J, Barry E, Noriega F, Tacket C, Sztein M, Chatfield S, Dougan G, Losonsky G, Kotloff K. Attenuated Salmonella Typhi and Shigella as live oral vaccines and as live vectors. Behring Inst Mitt 98:120-123, 1997.
- Tacket CO, Kelly SM, Schödel F, Losonsky G, Nataro JP, Edelman R, Levine MM, Curtiss R III. Safety and immunogenicity in humans of an attenuated Salmonella Typhivaccine vector strain expressing plasmid-encoded hepatitis B antigens stabilized by the Asd-balanced lethal system. Infect Immun 65:3381-3385, 1997.

 González CR, Noriega FR, Huerta S, Santiago A, Vega M, Paniagua J, Ortiz-National A, Levine MM.
 - Immunogenicity of a Salmonella Typhi CVD 908 candidate vaccine strain expressing the major surface protein gp63 of Leishmania mexicana mexicana. Vaccine 16:9/10 1043-1052, 1998.
- Orr N, Galen JE, Levine MM. Expression and immunogenicity of a mutant diphtheria toxin molecule, CRM197, and its fragments in Salmonella Typhi vaccine strain CVD 908-htrA. Infect Immun 67:4290-4294, 1999.

 Levine MM, Ferreccio C, Abrego P, San Martin O, Ortiz E, Cryz SC. Duration of efficacy of Ty21a, attenuated Salmonella Typhi live oral vaccine. Vaccine 17:2 Supplement S22-527, 1999.
- Pasetti MF, Anderson RJ, Noriega FR, Levine MM, Sztein MB. Attenuated ΔguaBA Salmonella Typhi vaccine strain CVD 915 as a live vector utilizing prokaryotic or eukaryotic expression systems to deliver foreign antigens and elicit immune responses. Clin Immun 92:76-89, 1999.
 - Galen JE, Nair J, Wang JY, Tanner MK, Sztein MB, Levine MM. Optimization of plasmid maintenance in the attenuated live vector vaccine Salmonella Typhi strain CVD 908-htrA. Infect Immun 67:6424-6433, 1999.
- Kotloff KL, Noriega FR, Samandari T, Sztein MB, Losonsky GA, Nataro JP, Picking WD, Levine MM. Shigella flexneri 2a strain CVD 1207 with specific deletions in virG, sen, set and guaBA is highly attenuated in humans. Infect Immun 68:1034-39, 2000.
 - Tacket CO, Sztein MB, Wasserman SS, Losonsky G, Kotloff KL, Wyant TL, Nataro JP, Edelman R, Perry J, Bedford P, Brown D, Chatfield S, Dougan G, Levine MM. Phase 2 clinical trial of attenuated Salmonella enterica serovar Typhi oral live vector vaccine CVD 908-htrA in U.S. volunteers. Infect Immun 68:1196-1201, 2000.
- 40 Anderson RJ, Pasetti MF, Sztein MB, Levine MM, Noriega FR. ΔguaBA attenuated Shigella flexneri 2a strain CVD 1204 as a Shigella vaccine and as a live mucosal delivery system for fragment C of tetanus toxin. Vaccine 18: 2193-2202, 2000.
 - Tacket CO, Galen J, Sztein MB, Losonsky G, Wyant TL, Nataro J, Wasserman SS, Edelman R, Chatfield S, Dougan G, Levine MM. Safety and immune responses to attenuated Salmonella enterica serovar Typhi oral live vector vaccines expressing tetanus toxin fragment C. Clin Immunol 97:146-153, 2000.
- vaccines expressing tetanus toxin fragment C. Clin Immunol 97:146-153, 2000.

 Pasetti MF, Tanner MK, Pickett TE, Levine MM, Sztein M. Mechanisms and cellular events associated with the priming of mucosal and systemic immune responses to Salmonella enterica serovar Typhi live vector vaccines delivered intranasally in the murine model. Vaccine 18:3208-3213, 2000.
- Wu S, Beier M, Sztein M, Galen JE, Pickett T, Holder AA, Gómez-Duarte O, Levine MM. Construction and immunogenicity in mice of attenuated Salmonella Typhi expressing Plasmodium falciparum merozoite surface protein (MSP-1) fused to tetanus toxin fragment C. J Biotechnol. 83:125-135, 2000.
 - Wang JY, Noriega FR, Galen JE, Barry E, Levine MM. Constitutive expression of the Vi polysaccharide capsular antigen in attenuated Salmonella enterica serovar Typhi oral vaccine strain CVD 909. Infect Immun 68:4647-4652, 2000.
- Koprowski H II, Levine MM, Anderson RA, Losonsky G, Pizza M, Barry EM. Attenuated Shigella flexneri 2a vaccine strain CVD 1204 expressing colonization factor antigen I and mutant heat-labile enterotoxin of enterotoxigenic Escherichia coli. Infect Immun 68:4884-92, 2000.
 - Gómez-Duarte O, Pasetti M, Santiago A, Sztein MB, Hoffman SL, Levine MM. Expression, secretion and immunogenicity of the Plasmodium falciparum SSP-2 protein in Salmonella vaccine strains by a type I secretion system. Infect Immun 69:1192-1198, 2001.
- 60 system. Infect Immun 69:1192-1198, 2001. Orr N, Galen JE, Levine MM. Novel use of anaerobically induced promoter, dmsA, for controlled expression of Fragment C of tetanus toxin in live attenuated Salmonella enterica serovar Typhi strain CVD 908-htrA. Vaccine 19:1694-1700, 2001.
- Altboum Z, Barry EM, Losonsky G, Galen JE, Levine MM. Attenuated Shigella flexneri 2a ΔguaBA strain CVD 1204 expressing ETEC CS2 and CS3 fimbriae as a live mucosal vaccine against Shigella and enterotoxigenic Escherichia coli infection. Infect Immun 69:3150-8, 2001.

- Wang JY, Pasetti MF, Noriega FR, Anderson RS, Wasserman SS, Galen JE, Sztein MB, Levine MM. Construction, genotypic and phenotypic characterization, and immunogenicity of attenuated ΔguaBA Salmonella enterica serovar Typhi strain CVD 915. Infect Immun 69:4734-4741, 2001.
- Galen JE, Levine MM. Can a "flawless" live vector vaccine strain be engineered? Trends Microbiol 9:372-376, 2001.
- Kotloff KL, Taylor DN, Sztein MB, Wasserman SS, Losonsky GA, Nataro JP, Venkatesan M, Hartman A, Picking WD, Katz DE, Campbell JD, Levine MM, Hale TL.. Phase I evaluation of ΔvirG Shigella sonnei live, attenuated, oral vaccine strain WRSS1 in healthy adults. Infect Immun 70:2016-21, 2002.
 - Pasetti, M, Levine MM, Sztein MB. Animal models paving the way for clinical trials of attenuated Salmonella enterica serovar Typhi live oral vaccines and live vectors. Vaccine. 21:401-18, 2003.
- Pasetti MF, Barry EM, Losonsky G, Singh M, Medina-Moreno, SM, Polo JM, Robinson H, Sztein MB, Levine MM. Attenuated Salmonella enterica serovar Typhi and Shigella flexneri 2a strains mucosally deliver DNA vaccines encoding measles virus hemagglutinin, inducing specific immune responses and protection in cotton rats. J Virol 77:5209-5217, 2003.
- Salerno-Goncalves R, Wyant TL, Pasetti MF, Fernandez-Vina M, Tacket CO, Levine MM, Sztein MB. Concomitant Induction of CD4(+) and CD8(+) T Cell Responses in Volunteers Immunized with Salmonella enterica Serovar Typhi Strain CVD 908-htr A. J Immol. 170:2734-2741, 2003.
 - Tacket CO, Pasetti MF, Sztein, MB, Livio S, Levine MM. Immune responses to an oral Typhoid vaccine strain modified to constitutively express Vi capsular polysaccharide. J Infect Dis, 190:565-570, 2004.
- Vindurampulle CJ, Cuberos LF, Barry EM, Pasetti MF, Levine MM. Recombinant Salmonella enterica serovar Typhi in a prime-boost strategy. Vaccine 22(27-28):3744-3750, 2004.
 - Capozzo AV, Cuberos L, Levine MM, Pasetti MF. Mucosally delivered Salmonella live vector vaccines elicit potent immune responses against a foreign antigen in neonatal mice born to naive and immune mothers. Infect Immun 72:4637-4646, 2004.
- Kotloff KL, Pasetti MF, Barry EM, Nataro JP, Wasserman SS, Sztein MB, Picking WD, Levine MM. Deletion in the Shigella enterotoxin genes further attenuates Shigella flexneri 2a bearing guanine auxotrophy in a Phase 1 trial of CVD 1204 and CVD 1208. J Infect Dis 190:1745-1754, 2004.
 - Galen JE, Zhao L, Chinchilla M, Wang JY, Pasetti MF, Green J, Levine MM. Adaptation of the endogenous Salmonella enterica serovar Typhi clyA-encoded hemolysin for antigen export enhances the immunogenicity of anthrax protective antigen domain 4 expressed by the attenuated live vector vaccine strain CVD 908-htrA. Infect Immun 72: 7096-7106,2004.

LISTA DE SECUENCIAS

- <110> VINDURAMPULLE, Christofer BARRY, Eileen LEVINE, Myron
- <120> SALMONELLA ENTERICA SEROVARIEDAD PARATYPHI A ATENUADA Y USOS DE LA MISMA
- <130> F208122
- 35 <150> US 60/731,349
 - <151> 2005-10-28
 - <160> 40

30

- <170> PatentIn versión 3.3
- <210> 1
- 40 <211> 489
 - <212> ADN
 - <213> Secuencia Artificial
 - <220>
 - <223> región guaBA mutada sintetizada químicamente
- 45 <400> 1

ggaacatcgc	acagcgcacc	tgagcggtat	cgtctttgag	cgtaaagtac	cagtggcccg	60
acgcaggctg	cgtgaaatta	gaaatctcgc	cgctgatcca	tacctgtccc	atctcctgtt	120
ctaacagcag	acgaaccgtc	tggttaaggc	ggcttacggt	aaaaattgag	gaagtttgag	180
aggataacat	gtgagcggga	tcaaattcta	aatcagcagg	ttattcaatc	ggtgtaggct	240
ggagcctgct	tcgaagttcc	tatactttct	agagaatagg	aacttcggaa	taggaactaa	300
ggaggatatt	catatgctct	ctctctgcgt	gctgtcgaaa	ccatcgactt	tatgaccgcg	360
cactgggcgc	acctgccgta	tgacttcctg	ggtcgtgttt	ccaaccgcat	catcaatgaa	420
gtcaacggga	tttcccgtgt	ggtgtatgac	atcagcggta	aaccaccggc	taccattgag	480
tgggaatga						489
<210> 2 <211> 634 <212> ADN <213> Secuenci	a Artificial					
<220>						
<223> región clp	X mutada sinteti	zada químicame	ente			
<400> 2						
cctgagaatg	gcatttgcgt	cgtcgtgtgc	ggcacaaaga	acaaagaaga	ggttttgact	60
catgacagat	aaacgcaaag	atggctcggg	caaattgttg	tactgctctt	tttgcggcaa	120
aagccagcat	gaagtgcgca	agctgattgc	cggtccatcc	gtgtatatct	gcgacgaatg	180
cgtcgattta	tgtaacgaca	ttattcgcgc	ccttatatat	atgcggccgc	tgtaggctgg	240
agctgcttcg	aagttcctat	actttctaga	gaataggaac	ttcggaatag	gaactaagga	300
ggatattcat	atggcgcgcc	tataagggcg	aattccgtga	cgaagcgctg	aacgctatcg	360
ccaggaaagc	aatggcgcgt	aaaaccggtg	cccgtggtct	gcgttctatc	gtcgaagcgg	420
cgctgctgga	taccatgtac	gatttgccat	ctatggaaga	cgtcgaaaaa	gtggtgatcg	480
acgagtccgt	tattgccggt	cagagtaagc	cgttgctgat	ttacggcaaa	ccggaagcgc	540
aggcttctgg	cgaataatta	aacattcata	caatcagtta	gccaaaaaag	gggggatttt	600
atctcccctt	tcgtttttcc	tgtaaacacg	ccgt			634
<210> 3 <211> 370 <212> ADN <213> Secuenci	a Artificial					

5

10

15

<220>

<400> 3

<223> región clpP mutada sintetizada químicamente

tccatcaggt tacaatcagt acagcaggtt ttttcaattt ttatccagga gacggaaatg	60
tcatacagcg gagaacgaga taatttggcc cctcatatat gaatatcctc cttagttcct	120
attccgaagt tcctattctc tagaaagtat aggaacttcg aagcagctcc agcctacacg	180
ctaggactca attttgaccc atcgtaattg atgccctgga cgcaagtgtg ccgctataca	240
cttcatcctt cacgctacct cggtgttggt tgccagcgcg cctcccggtg acttacttat	300
gtaagcgcct gcggagtcgc cgagttgccg ccttgatgta gctcgaatga ttttgtgtat	360
atactaatga	370
<210> 4 <211> 27 <212> ADN <213> Secuencia Artificial	
<220>	
<223> cebador de oligonucleótido sintetizado químicamente	
<400> 4	
ctgcagtcat tcccactcaa tggtagc 27	
<210> 5 <211> 18 <212> ADN <213> Secuencia Artificial	
<220>	
<223> cebador de oligonucleótido sintetizado químicamente	
<400> 5	
ggaacatcgc acagcgca 18	
<210> 6 <211> 17 <212> ADN <213> Secuencia Artificial	
<220>	
<223> cebador de oligonucleótido sintetizado químicamente	
<400> 6	
gtgtaggagc tgcttcg 17	
<210> 7 <211> 20 <212> ADN <213> Secuencia Artificial	
<220>	
<223> cebador de oligonucleótido sintetizado químicamente	
<400> 7	
catatgaata tcctccttag 20	

```
<210> 8
      <211> 119
      <212> ADN
     <213> Secuencia Artificial
 5
     <220>
     <223> cebador de oligonucleótido sintetizado químicamente
      cgaaccgtct ggttaaggcg gcttacggta aaaattgagg aagtttgaga ggataacatg
                                                                                            60
      tgagcgggat caaattctaa atcagcaggt tattcaatcg tgtaggctgg agctgcttc
                                                                                           119
     <210>9
10
     <211> 120
      <212> ADN
      <213> Secuencia Artificial
     <220>
     <223> cebador de oligonucleótido sintetizado químicamente
15
     <400> 9
      ttcattgatg atgcggttgg aaacacgacc caggaagtca tacggcaggt gcgcccagtg
                                                                                            60
      cgcggtcata aagtcgatgg tttcgacagc acgcagagag catatgaata tcctccttag
                                                                                           120
      <210> 10
     <211> 28
      <212> ADN
20
     <213> Secuencia Artificial
     <220>
      <223> cebador de oligonucleótido sintetizado químicamente
      <400> 10
     gaaggagtat tgcccatgct acgtatcg
                                            28
25
     <210> 11
     <211> 42
      <212> ADN
      <213> Secuencia Artificial
     <220>
30
     <223> cebador de oligonucleótido sintetizado químicamente
      catatgaagg agtattgccc atgctacgta tcgctaaaga ag
                                                             42
      <210> 12
     <211> 36
35
     <212> ADN
      <<220>
     <223> cebador de oligonucleótido sintetizado químicamente
      <400> 12
```

	atgcatctgc agtcattccc actcaatggt agccgg 36
5	<210> 13 <211> 30 <212> ADN <213> Secuencia Artificial
	<220>
	<223> cebador de oligonucleótido sintetizado químicamente
	<400> 13
	acagataaac gcaaagatgg ctcgggcaaa 30
10	<210> 14 <211> 30 <212> ADN <213> Secuencia Artificial
	<220>
15	<223> cebador de oligonucleótido sintetizado químicamente
	<400> 14
	ttattcgcca gaagcctgcg cttccggttt 30
20	<210> 15 <211> 30 <212> ADN <213> Secuencia Artificial
	<220>
	<223> cebador de oligonucleótido sintetizado químicamente
	<400> 15
25	cctgagaatg gcatttgcgt cgtcgtgtgc 30
	<210> 16 <211> 30 <212> ADN <213> Secuencia Artificial
30	<220>
	<223> cebador de oligonucleótido sintetizado químicamente
	<400> 16
	acggcgtgtt tacaggaaaa acgaaagggg 30
35	<210> 17 <211> 30 <212> ADN <213> Secuencia Artificial
	<220>
	<223> cebador de oligonucleótido sintetizado químicamente
40	<400> 17

	tcatacagcg gagaacgaga taatttggcc 30	
5	<210> 18 <211> 30 <212> ADN <213> Secuencia Artificial	
	<220>	
	<223> cebador de oligonucleótido sintetizado químicamente	
	<400> 18	
	ttacataagt aagtcactgg gaggcgcgct 30	
10	<210> 19 <211> 30 <212> ADN <213> Secuencia Artificial	
	<220>	
15	<223> cebador de oligonucleótido sintetizado químicamente	
	<400> 19	
	tccatcaggt tacaatcagt acagcagatt 30	
20	<210> 20 <211> 30 <212> ADN <213> Secuencia Artificial	
	<220>	
	<223> cebador de oligonucleótido sintetizado químicamente	
	<400> 20	
25	tcattagtat atacacaaaa tcattcgagc 30	
	<210> 21 <211> 45 <212> ADN <213> Secuencia Artificial	
30	<220>	
	<223> cebador de oligonucleótido sintetizado químicamente	
	<400> 21	
	gcggccgcga aggagagacg gaaatgtcat acagcggaga acgag	45
35	<210> 22 <211> 42 <212> ADN <213> Secuencia Artificial	
	<220>	
	<223> cebador de oligonucleótido sintetizado químicamente	
40	<400> 22	

	icgcgagaat ictiacataa gtaagtcact gggaggcgcg ct 42	
5	<210> 23 <211> 45 <212> ADN <213> Secuencia Artificial	
	<220>	
	<223> cebador de oligonucleótido sintetizado químicamente	
	<400> 23	
	geggeegega aggagtttga eteatgacag ataaaegeaa agatg 45	
10	<210> 24 <211> 36 <212> ADN <213> Secuencia Artificial	
	<220>	
15	<223> cebador de oligonucleótido sintetizado químicamente	
	<400> 24	
	catatgttat tegecagaag eetgegette eggttt 36	
20	<210> 25 <211> 38 <212> ADN <213> Secuencia Artificial	
	<220>	
	<223> cebador de oligonucleótido sintetizado químicamente	
	<400> 25	
25	geggeegett acataagtaa gteaetggga ggegeget 38	
	<210> 26 <211> 3120 <212> ADN <213> Salmonella Typhi Ty2	
30	<400> 26	
	ttgcccatgc tacgtatcgc taaagaagcc ctgacgtttg acgacgtcct ccttgttccc	6
	gctcactcca ccgttttgcc gaatactgct gatctcagca cgcagttgac gaaaactatt	12
	cgtctgaata ttcctatgct ttctgcggcg atggacaccg tgacggaagc gcgcctggca	18
	attgccctgg cccaggaagg cggcatcggt tttatccaca aaaacatgtc tattgagcgc	24
	caggeggaag aagttegeeg egtgaagaaa caegagteeg gegtagtgae egaeeegeag	30
	accetcctec caaccaccac ettecateaa eteaaaeccc teacceaece taaceettt	36
	gegggetate eggtggtgae tgaagataae gagetggtgg gtateateae eggtegtgae	42
	gtgcgttttg tgactgacct gaaccagccg gtgagtgttt acatgacgcc gaaagagcgt	48

ctggtgaccg ttcgtgaagg	cgaagcccgt	gaagtcgtgc	tggcaaaaat	gcacgaaaaa	540
cgcgtagaaa aagcgctggt	cgttgatgat	aacttccatc	tgcttggcat	gattaccgta	600
aaagatttcc agaaagcgga	acgtaaacca	aactcctgta	aagatgagca	gggccgttta	660
cgtgtcggcg cggcggtcgg	cgcaggcgcg	ggcaacgaag	agcgcgttga	cgcgctggtg	720
gcggcaggcg ttgacgtcct	gctgatcgac	tcttctcacg	gtcactctga	aggcgtgttg	780
caacgtatcc gtgaaacccg	tgctaaatat	cctgacctgc	aaatcatcgg	cggcaacgtc	840
gcgacgggcg caggcgctcg	cgcactggcg	gaagccggtt	gcagcgcggt	gaaagtcggt	900
atcggcccgg gttccatctg	taccactcgt	atcgtgactg	gcgtgggcgt	tccgcagatt	960
accgctgttt ctgacgcagt	tgaagcgctg	gaaggcaccg	ggattccggt	tatcgctgac	1020
ggcggtatcc gtttctccgg	cgacatcgcc	aaagccatcg	ccgcaggcgc	gagcgctgtc	1080
atggtcggtt ctatgctggc	gggtaccgaa	gaatccccgg	gcgaaatcga	actctaccag	1140
ggccgttctt acaaatctta	ccgcggcatg	ggctcgctgg	gcgcgatgtc	caaaggttcc	1200
tctgaccgtt acttccagag	cgacaacgcc	gccgacaaac	tggtgccgga	aggtatcgaa	1260
ggccgcgtag cctataaagg	tcgcctgaaa	gagatcattc	accagcagat	gggcggcctg	1320
cgctcctgta tggggctgac	cggttgtgct	accatcgacg	aactgcgtac	taaagcggag	1380
tttgtgcgta tcaģcggtgc	gggtatccag	gaaagccacg	ttcacgacgt	gaccatcacc	1440
aaagagtccc cgaactaccg	tctgggctcc	tgattttctt	cgcccgacct	tcgcgtcggg	1500
cgatttattt aatctgtttc	acttgcctcg	gaataagcgt	caatgacgga	aaacattcat	1560
aagcatcgca tcctcattct	ggacttcggt	tctcagtaca	ctcaactggt	tgcgcgccgc	1620
gtgcgtgagc tgggtgttta	ctgcgaactg	tgggcgtggg	atgtgacaga	agcacaaatt	1680
cgtgacttca acccaagcgg	cattattctt	tccggcggcc	cggaaagcac	caccgaagaa	1740
aacagcccgc gcgcgccgca	gtatgtcttt	gaagcaggcg	tgccggtatt	tggcgtctgc	1800
tacgggatgc agaccatggc	gatgcagctt	ggcggtcatg	tagaaggttc	taatgagcgt	1860
gaatttggtt acgcgcaggt	cgaagtgctg	accgacagcg	cgctggttcg	cggtattgaa	1920
gattccctga ccgccgacgg	caaaccgctg	ctggacgtgt	ggatgagcca	cggcgataaa	1980
gtgacggcga ttccgtccga	cttcgtgacc	gtagccagca	ccgaaagctg	cccgttcgcc	2040
atcatggcta acgaagaaaa	acgcttctac	ggcgtacagt	tccacccgga	agtgactcac	2100
accegecagg gtatgegeat	gctggagcgt	tttgtgcgtg	atatctgcca	gtgtgaagcc	2160
ctgtggacgc cggcgaagat	catcgacgac	gccgtggcgc	gcattcgcga	gcaggtaggc	2220
gacgataaag tgatcctcgg	tctctccggc	ggcgtggatt	cttccgtaac	cgcaatgctg	2280
ctgcaccgcg cgatcggtaa	aaatctgacc	tgtgtattcg	tcgacaacgg	cctgctgcgt	2340
ctcaacgaag ccgagcaggt	gatggacatg	tttggcgacc	attttggtct	gaacatcgtt	2400

cacgtaccgg	cagaagatcg	cttcctgtcc	gcgttggctg	gcgaaaacga	tccggaagcg	2460
aagcgtaaga	tcattggccg	tgtttttgtg	gaagtgttcg	acgaagaagc	gttgaaactg	2520
gaagacgtga	aatggctggc	gcagggcacc	atctaccctg	acgtcatcga	atctgcggcg	2580
tctgcaaccg	gtaaagcgca	cgtcatcaaa	tctcaccaca	atgttggcgg	cctgccgaaa	2640
gagatgaaga	tggggctggt	tgaaccgctg	aaagagctgt	tcaaagacga	agtgcgtaag	2700
attggtctgg	agctgggcct	gccgtacgac	atgctgtacc	gtcatccgtt	cccggggccg	2760
ggcctcggcg	tacgtgtact	gggtgaagtg	aagaaagagt	actgcgacct	gctgcgccgt	2820
gctgatgcca	tcttcattga	agagctgcgt	aaggcggatc	tgtacgacaa	agtcagccag	2880
gcgttcaccg	tcttcctgcc	agtacgctcc	gttggcgtaa	tgggcgatgg	tcgtaagtac	2940
gattgggtgg	tetetetgeg	tgctgtcgaa	accatcgact	ttatgaccgc	gcactgggcg	3000
cacctgccgt	atgacttcct	gggtcgtgtt	tccaaccgca	tcatcaatga	agtcaacggg	3060
atttcccgtg	tggtgtatga	catcagcggt	aaaccaccgg	ctaccattga	gtgggaataa	3120

<210> 27

<211> 2147

<212> ADN

<213> Salmonella Typhi Ty2

<400> 27

5

ttattegeca gaageetgeg etteeggttt geegtaaate ageaaegget taetetgaee 60 ggcaataacg gactcgtcaa tcaccacttt ttcgacgtct tccatagatg gcaaatcgta 120 catggtatcc agcagegeeg cttcgacgat agaacgcagg ccaegggeac cagttttacg 180 cgccatcgct ttcctggcga tagcgttcag cgcttcgtca cggaattcca gatcgacgcc 240 ttccaggtta aacagcgcct gatactgctt ggtcagcgca tttttcggct ctttcaggat 300 ttgaaccage gettettege tgagttegtt cagegtegee accaetggea gaegaecgat 360 aaactcagga atcagaccaa atttgatcaa atcttccggt tcaacctgcg acaacagctc 420 gccttcactg gctttgtcgg acttcgcttt caccgtcgcg ccaaaaccaa tgccggagcc 480 ggtttcaaca cggttagcga tcactttatc cagaccggca aacgcgccgc cgcagataaa 540 cagaatetta gaggtateta cetgtaagaa eteetgetge ggatgtttge gacegeeetg 600

cġgtggaacc	gcggcgacgg	tgccttcgat	cagtttcagc	aacgcctgct	gtacgccttc	660
gccggaaaca	tcgcgggtaa	tggacggatt	gtctgattta	cgcgaaatct	tatcgatttc	720
atcaatgtag	acaatcccac	gctgcgctitt	ttgcacgtcg	tagtcgcatt	tctgcaaçag	780
tttctgaatg	atattctcga	cgtcttcccc	cacgtaaccc	gcttcggtca	gcgtggtcgc	840
atccgccata	gtgaacggca	catccagcaa	gcgcgccagc	gtttccgcca	gcagcgtttt	900
accggaaccg	gtcggtccag	tcagcagaat	gttgcttttg	cctaactcga	cgccattgct	960
ggtatcgccg	ttacgcagac	gcttgtagtg	gttatagacc	gccaccgcca	gcacttttt	1020
cgcctgctcc	tggccgataa	cgtaatcgtc	caggtgagta	cgaatttcat	gcggcgtcgg	1080
cagcgcacta	cgttcacggt	gcggagcaac	ttctttaatt	tcttcgcgaa	taatgtcgtt	1140
acataaatcg	acgcattcgt	cgcagatata	cacggatąga	ccggcaatca	gcttgcgcac	1200
ttcatgctgg	cttttgccgc	aaaaagagca	gtacaacaat	ttgcccgagc	catctttgcg	1260
tttatctgtc	atgagtcaaa	acctcttctt	tgttctttgt	gccgcacacg	acgacgcaaa	1320
tgccattctc	aggcgcaagc	cgctaatcag	cgttgtgccg	cccttcatta	gtatatacac	1380
aaaatcattç	gagctacatc	aaggcggcaa	ctcagcgact	ccgcaggcgc	ttacataagt	1440
aagtcactgg	gaggcgcgct	ggcaaccaac	accgaggtag	cgtgaaggat	gaagtgtata	1500
gcggcacact	tgcgtccagg	gcatcaatta	cgatgggtca	aaattgagtç	aaccaaaccg	1560
tactctaccg	cttcaggcgc	ggagaggaag	cgatcgcgct	cagtatcacg	ttcaatctgc	1620
tcaagagatt	gacccgtatg	atgcgccata	agttcattca	tgcgcccttt	tactttcaaa	1680
atttcgcggg	cgtgaatttc	aatatccgtc	gcctggccct	gatagccgcc	cagcggctgg	1740
tggatcatga	cgcgagagtt	cggcaagcag	aaacgtttgc	ctttcgcccc	ggcagtcagc	1800
agaaacgccc	ccatagaggc	cgcctgtccc	atacaaatgg	tgctgacgtc	tggcttaata	1860
aactgcatgg	tgtcatagat	ggacatccc	gcagtaatta	cgccgccagg	agaattaatg	1920
tacagataga	tatctttttc	cgggttttcc	gcttccagga	acagcatctg	cgccacgatc	1980
aggttagcca	tatggtcttc	gacctggccg	gtcagaaata	tgacgcgttc	cttaagtaga	2040
cgagaataga	tatcaaaaga	gcgctcaccg	cgtgaggtct	gttcaatgac	catcggcacc	2100
agcgccatat	gaggggccaa	attatctcgt	tctccgctgt	atgacat		2147

<210> 28

5

<211> 687 <212> ADN

<213> E. coli

cctagggcca	gcaaaaggcc	aggaaccgta	aaaaggccgc	gttgctggcg	tttttccata	60
ggctccgccc	ccctgacgag	catcacaaaa	atcgacgctc	aagtcagagg	tggcgaaacc	120
cgacaggact	ataaagatac	caggcgtttc	cccctggaag	ctccctcgtg	cgctctcctg	180
ttccgaccct	gccgcttacc	ggatacctgt	ccgcctttct	cccttcggga	agcgtggcgc	240
tttctcatag	ctcacgctgt	aggtatctca	gttcggtgta	ggtcgttcgc	tccaagctgg	300
gctgtgtgca	cgaacccccc	gttcagcccg	accgctgcgc	cttatccggt	aactatcgtc	360
ttgagtccaa	cccggtaaga	cacgacttat	cgccactggc	agcagccact	ggtaacagga	420
ttagcagagc	gaggtatgta	ggcggtgcta	cagagttctt	gaagtggtgg	cctaactacg	480
gctacactag	aaggacagta	tttggtatct	gcgctctgct	gaagccagtt	accttcggaa	540
aaagagttgg	tagctcttga	tccggcaaac	aaaccaccgc	tggtagcggt	ggttttttg	600
tttgcaagca	gcagattacg	cgcagaaaaa	aaggatctca	agaagatcct	ttgatctttt	660
ctacggggtc	tgacgctcag	tagatct				687
<210> 29 <211> 635 <212> ADN <213> Salmonel	la typhimurium					
<400> 29						
cctaggagat	acttaacagg	gaagtgagag	ggccgcggca	aagccgtttt	tccataggct	60
ccgccccct	gacaagcatc	acgaaatctg	acgctcaaat	cagtggtggc	gaaacccgac	120
aggactataa	agataccagg	cgtttccccc	tggcggctcc	ctcgtgcgct	ctcctgttcc	180
tgcctttcgg	tttaccggtg	tcattccgct	gttatggccg	cgtttgtctc	attccacgcc	240
tgacactcag	ttccgggtag	gcagttcgct	ccaagctgga	ctgtatgcac	gaaccccccg	300
ttcagtccga	ccgctgcgcc	ttatccggta	actatcgtct	tgagtccaac	ccggaaagac	360
atgcaaaagc	accactggca	gcagccactg	gtaattgatt	tagaggagtt	agtcttgaag	420
tcatgcgccg	gttaaggcta	aactgaaagg	acaagttttg	gtgactgcgc	tcctccaagc	480
		aactgaaagg gttggtagct				480 540
cagttacctc	ggttcaaaga	gttggtagct	cagagaacct	tcgaaaaacc		540
cagttacctc	ggttcaaaga cgttttcaga	gttggtagct	cagagaacct	tcgaaaaacc	gccctgcaag	540

5

10

<400> 30

30

çctaggtttc	acctgttcta	ttaggtgtta	catgctgttc	atctgttaca	ttgtcgatct	60
gttcatggtg	aacagcttta	aatgcaccaa	aaactcgtaa	aagctctgat	gtatctatct	120
tttttacacc	gttttcatct	gtgcatatgg	acagttttcc	ctttgatatc	taacggtgaa	180
cagttgttct	acttttgttt	gttagtcttg	atgcttcact	gatagataca	agagccataa	240
gaacctcaga	tccttccgta	tttagccagt	atgttctcta	gtgtggttcg	ttgtttttgc	300
gtgagccatg	agaacgaacc	attgagatca	tgcttacttt	gcatgtcact	caaaaatttt	360
gcctcaaaac	tggtgagctg	aatttttgca	gttaaagcat	cgtgtagtgt	ttttcttagt	420
ccgttacgta	ggtaggaatc	tgatgtaatg	gttgttggta	ttttgtcacc	attcattttt	480
atctggttgt	tctcaagttc	ggttacgaga	tccatttgtc	tatctagttc	aacttggaaa	540
atcaacgtat	cagtcgggcg	gcctcgctta	tcaaccacca	atttcatatt	gctgtaagtg	600
tttaaatctt	tacttattgg	tttcaaaacc	cattggttaa	gccttttaaa	ctcatggtag	660
ttattttcaa	gcattaacat	gaacttaaat	tcatcaaggc	taatctctat	atttgccttg	720
tgagttttct	tttgtgttag	ttcttttaat	aaccactcat	aaatcctcat	agagtatttg	780
ttttcaaaag	acttaacatg	ttccagatta	tattttatga	attttttaa	ctggaaaaga	840
taaggcaata	tctcttcact	aaaaactaat	tctaattttt	cgcttgagaa	cttggcatag	900
tttgtccact	ggaaaatctc	aaagccttta	accaaaggat	tcctgatttc	cacagttctc	960
gtcatcagct	ctctggttgc	tttagctaat	acaccataag	cattttccct	actgatgttc	1020
atcatctgag	cgtattggtt	ataagtgaac	gataccgtcc	gttctttcct	tgtagggttt	1080
tcaatcgtgg	ggttgagtag	tgccacacag	cataaaatta	gcttggtttc	atgctccgtt	1140
aagtcatagc	gactaatcgc	tagttcattt	gctttgaaaa	caactaattc	agacatacat	1200
ctcaattggt	ctaggtgatt	ttaatcacta	taccaattga	gatgggctag	tcaatgataa	1260
ttactagtcc	ttttcctttg	agttgtgggt	atctgtaaat	tctgctagac	ctttgctgga	1320
aaacttgtaa	attctgctag	accetetgta	aattccgcta	gacctttgtg	tgttttttt	1380
gtttatattc	aagtggttat	aatttataga	ataaagaaag	aataaaaaaa	gataaaaaga	1440
atagatccca	gccctgtgta	taactcacta	ctttagtcag	ttccgcagta	ttacaaaagg	1500
atgtcgcaaa	cgctgtttgc	tcctctacaa	aacagacctt	aaaaccctaa	aggcttaagt	1560
agcaccctcg	caagctcggg	caaatcgctg	aatattcctt	ttgtctccga	ccatcaggca	1620
cctgagtcgc	tgtcttttc	gtgacattca	gttcgctgcg	ctcacggctc	tggçagtgaa	1680

tgggggtaaa tggcactaca ggcgcctttt atggattcat gcaaggaaac tacccataat 1740
acaagaaaag cccgtcacgg gcttctcagg gcgttttatg gcgggtctgc tatgtggtgc 1800
tatctgactt tttgctgttc agcagttcct gccctctgat tttccagtct gaccacttcg 1860
gattatcccg tgacaggtca ttcagactgg ctaatgcacc cagtaaggca gcggtatcat 1920
caacaggctt acccgtctta ctgtcaaccg gatct 1955

<210> 31

<211> 1686

<212> ADN

5 <213> Escherichia coli

<400> 31

60 cacttttgtt acccgccaaa caaaacccaa aaacaaccca tacccaaccc aataaaacac caaaacaaga caaataatca ttgattgatg gttgaaatgg ggtaaacttg acaaacaaac 120 180 ccacttaaaa cccaaaacat acccaaacac acaccaaaaa aacaccataa ggagttttat aaatgttggt attcattgat gacggttcaa caaacatcaa actacagtgg caggaaagcg 240 acggaacaat taaacagcac attaqcccga acagcttcaa acgcgagtgg gcagtctctt 300 360 ttggtgataa aaaggtcttt aactacacac tgaacggcga acagtattca tttgatccaa tcagcccgga tgctgtagtc acaaccaata tcgcatggca atacagcgac gttaatgtcg 420 ttgcagtgca tcacgcctta ctgaccagtg gtctgccggt aagcgaagtg gatattgttt 480 gcacacttcc tctgacagag tattacgaca gaaataacca acccaatacg gaaaatattg 540 agcgtaagaa agcaaacttc cggaaaaaaa ttacattaaa tggcggggat acattcacaa 600 taaaagatgt aaaagtcatg cctgaatcta taccggcagg ttatgaagtt ctacaagaac 660 tggatgagtt agattettta ttaattatag ateteggggg caccacatta gatatttete 720 aggtaatggg gaaattatcg gggatcagta aaatatacgg agactcatct cttggtgtct 780 ctctggttac atctgcagta aaagatgccc tttctcttgc gagaacaaaa ggaagtagct 840 atcttgctga cgatataatc attcacagaa aagataataa ctatctgaag caacgaatta 900 atgatgagaa caaaatatca atagtcaccg aagcaatgaa tgaagcactt cgtaaacttg 960 agcaacgtgt attaaatacg ctcaatgaat tttctggtta tactcatgtt atggttatag 1020

gcggtggcgc	agaattaata	tgcgatgcag	taaaaaaaca	cacacagatt	cgtgatgaac	1080
gttttttcaa	aaccaataac	tctcaatatg	atttagttaa	cggtatgtat	ctcataggta	1140
attaatgatg	gacaagcgca	gaaccattgc	cttcaaacta	aatccagatg	taaatcaaac	1200
agataaaatt	gtttgtgata	cactggacag	tatcccgcaa	ggggaacgaa	gccgccttaa	1260
ccgggccgca	ctgacggcag	gtctggcctt	atacagacaa	gatccccgga	cccctttcct	1320
tttatgtgag	ctgctgacga	aagaaaccac	attttcagat	atcgtgaata	tattgagatc	1380
gctatttcca	aaagagatgg	ccgattttaa	ttcttcaata	gtcactcaat	cctcttcaca	1440
acaagagcaa	aaaagtgatg	aagagaccaa	aaaaaatgcg	atgaagctaa	taaattaatt	1500
caatțattat	tgagttccct	ttatccacta	tcaggctgga	taaagggaac	tcaatcaagt	1560
tattttctta	ccagtcatta	cataatcgtt	attatgaaat	aatcgtttgc	actgtctctg	1620
ttattcaggc	aatttcaata	aaggcacttg	ctcacgctct	gtcattttct	gaaactcttc	1680
atgctg						1686
<210> 32 <211> 367 <212> ADN <213> Escherich	nia coli					
<400> 32						
gacagtaaga	cgggtaagcc	tgttgatgat	accgctgcct	tactgggtgc	attagccagt	60
ctgaatgacc	tgtcacggga	taatccgaag	tggtcagact	ggaaaatcag	agggcaggaa	120
ctgctgaaca	gcaaaaagtc	agatagcacc	acatagcaga	cccgccataa	aacgccctga	180
gaagcccgtg	acgggctttt	cttgtattat	gggtagtttc	cttgcatgaa	tccataaaag	240
gcgcctgtag	tgccatttac	ccccattcac	tgccagagcc	gtgagcgcag	cgaactgaat	300
gtcacgaaaa	agacagcgac	tcaggtgcct	gatggtcgga	gacaaaagga	atattcagcg	360
atttgcc						367
<210> 33 <211> 459 <212> ADN <213> Escherich	nia coli					

5

10

ttctgtggta	gcacagaata	atgaaaagtg	tgtaaagaag	ggtaaaaaaa	accgaatgcg	60	
aggcatccgg	ttgaaatagg	ggtaaacaga	cattcagaaa	tgaatgacgg	taataaataa	120	
agttaatgat	gatagcggga	gttattctag	ttgcgagtga	aggttttgtt	ttgacattca	180	
gtgctgtcaa	atacttaaga	ataagttatt	gattttaacc	ttgaattatt	attgcttgat	240	
gttaggtgct	tatttcgcca	ttccgcaata	atcttaaaaa	gttcccttgc	atttacattt	300	
tgaaacatct	atagcgataa	atgaaacatc	ttaaaagttt	tagtatcata	ttcgtgttgg	360	
attattctgc	atttttgggg	agaatggact	tgccgactga	ttaatgaggg	ttaatcagta	420	
tgcagtggca	taaaaaagca	aataaaggca	tataacaga			459	
<210> 34 <211> 734 <212> ADN <213> Shigella flexneri 2a cepa CVD 1208s							
<400> 34							
catatgattg	acctgaatga	atatacagta	ttggaatgca	ttatccggag	tgttgtgtaa	60	
caatgtctgg	ccaggtttgt	ttcccggaac	cgaggtcaca	acatagtaaa	agcgctattg	120	
gtaatggtac	aatcgcgcgt	ttacacttat	tcagaacgac	aggagacacg	aacatggcca	180	
gcagaggcgt	aaacaaggtt	attctcgttg	gtaatctggg	tcaggacccg	gaagtacgct	240	
acatgccaaa	tggtggcgca	gttgccaaca	ttacgctggc	tacttccgaa	tcctggcgtg	300	
ataaagcgac	cggcgagatg	aaagaacaga	ctgaatggca	ccgcgttgtg	ctgttcggca	360	
aactggcaga	agtggcgagc	gaatatctgc	gtaaaggttc	tcaggtttat	atcgaaggtc	420	
agctgcgtac	ccgtaaatgg	accgatcaat	ccggtcagga	tcgctacacc	acagaagtcg	480	
tggtgaacgt	tggcggcacc	atgcagatgc	tgggtggtcg	tcagggtggt	ggcgctccgg	540	
caggtggcaa	tatcggtggt	ggtcagccgc	agggcggttg	gggtcagcct	cagcagccgc	600	
agggtggcaa	tcagttcagc	ggcggcgcgc	agtctcgccc	gcagcagtcc	gctccggcag	660	
cgccgtctaa	cgagccgccg	atggactttg	atgatgacat	tccgttctga	tttgtcatta	720	
aaacaatagc	tagc					734	
<210> 35 <211> 1467 <212> ADN <213> Salmonella Paratyphi A 9150							
<220>							
<221> misc_feature							
<223> guaB							

```
atgetaegta tegetaaaga ageeetgaeg tittgaegaeg teeteettgt teeegeteae
                                                                       60
tccaccgttt tgccgaatac tgccgatctc agcacgcagt tgacgaaaac tattcgtctg
                                                                      120
aatatteeta tgetttetge ggegatggae acegtgaegg aagegegeet ggeaattgee
                                                                      180
ctggcccagg aaggcggcat tggttttatc cacaaaaaca tgtccattga gcgccaggcg
                                                                      240
gaagaagtte geegegtgaa gaaacaegag teeggegtag tgacegaeee geagaeegte
                                                                      300
ctgccaacca ccacgttgca tgaagtgaaa gccctgaccg agcgtaacgg ttttgcgggc
                                                                      360
tatccggtgg tgactgaaga taacgagctg gtggggatca tcaccggtcg tgacgtgcgt
                                                                      420
tttgtgactg acctgaacca gccggtaagt gtctacatga cgccgaaaga gcgtctggtg
                                                                      480
accettcete aaggegaage ceetgaagte etgetegeaa aaatgeacga aaaaceeegta
                                                                      540
gaaaaagcgc tggtcgttga tgataacttc catctgcttg gcatgattac cgtaaaagat
                                                                      600
ttccagaaag cggaacgtaa accaaactcc tgtaaagatg agcagggccg tttacgtgtc
                                                                      660
ggcgcggcgg tcggcgcagg cgcgggcaac gaagagcgcg ttgacgcgct ggtggcggca
                                                                      720
ggcgttgacg tactgctgat cgactcctct cacggtcact ctgaaggcgt gttgcaacgt
                                                                      780
atcogtgaga cgcgtgctaa atatcctgac ctgcaaatca tcggcggcaa cgttgcgacg
                                                                      840
                                                                      900
ggcgcaggcg ctcgcgcact ggcggaagcc ggttgcagcg cggtgaaagt gggtatcggc
cegggeteca tetgtaceae tegtategtg actggtgtgg gegtteegea gateaeeget
                                                                      960
                                                                     1020
gtttccgacg cggtagaagc gctggaaggc accggaattc cggttatcgc tgacggcggt
                                                                     1080
atcogtttct coggogacat ogcoaaagoo atcgcogcag gogogagogo ogtgatggtg
                                                                     1140
ggctctatgc tggccggtac cgaagaatcc ccgggcgaaa tcgaactcta ccagggccgt
tegtacaaat ettacegegg catgggeteg etgggegega tgtecaaagg ttecteegae
                                                                     1200
cgttacttcc agagcgacaa cgccgctgac aaactggtgc cggaaggtat cgaaggccgc
                                                                     1260
gtagcctata aaggtcgcct gaaagagatc attcaccagc agatgggcgg cctgcgctcc
                                                                     1320
                                                                     1380
tgtatggggc tgaccggttg tgctaccatc gacgaactgc gtactaaagc ggagtttgtg
                                                                     1440
cgtatcagcg gtgcgggtat ccaggaaagc cacgttcacg acgtgaccat caccaaagag
tccccgaact accgtctggg ctcctga
                                                                     1467
```

<210> 36

<211> 1578

<212> ADN

<213> Salmonella Paratyphi A 9150

<220>

5

<221> misc_feature

<223> guaA

atgacggaaa	acattcataa	gcatcgcatc	ctcattctgg	acttcggttc	tcagtacact	60
caactggttg	cgcgccgcgt	gcgtgagctg	ggtgtttact	gcgaactgtg	ggcgtgggat	120
gtgacagaag	cacaaattcg	tgacttcaac	ccaagcggca	ttattctttc	cggcggcccg	180
gaaagcacca	ccgaagaaaa	cagcccgcgc	gcgccgcagt	atgtctttga	agcaggcgtg	240
ccggtatttg	gcgtttgcta	tggtatgcag	accatggcga	tgcagcttgg	cggtcatgta	300
gaaggttcta	atgagcgtga	atttggttat	gcgcaggtcg	aagtgttgac	cgacagcgcg	360
ctggttcgcg	gtattgaaga	ttccctgacc	gcagacggca	aaccgctgct	ggacgtgtgg	420
atgagccacg	gcgataaagt	gacggcgatt	ccgtccgact	tcgtgaccgt	cgccagcacc	480
gagagctgcc	cgttcgccat	catggctaac	gaagaaaaac	gcttctacgg	cgtacagttc	540
cacccggaag	tgacccacac	ccgccagggg	atgcgcatgc	tggagcgttt	tgtgcgtgat	600
atctgccagt	gtgaagcgtt	gtggacgccg	gcgaagatca	tcgacgacgc	cgtggcgcgc	660
attcgcgagc	aggtaggcga	cgataaagtg	atcctcggtc	tctccggcgg	cgtggattct	720
tccgtcaccg	caatgctgct	gcaccgcgcg	atcggtaaaa	atctgacctg	tgtattcgtc	780
gacaacggcc	tgctgcgtct	caacgaagcc	gagcaggtga	tggacatgtt	tggcgaccat	840
tttggcctga	atatcgttca	cgttccggcg	gaagagcgct	tcctgtccgc	gttggctggc	900
gaaaacgatc	cggaagcgaa	gcgtaagatc	attggccgtg	tttttgtgga	agtgttcgac	960
gaagaagcgt	tgaaactgga	agacgtgaaa	tggctggcgc	agggcaccat	ctaccctgac	1020
gtcatcgagt	ctgcggcgtc	tgcaaccggt	aaagcgcacg	tcatcaaatc	tcaccacaat	1080
gttggcggcc	tgccgaaaga	gatgaagatg	gggctggttg	aaccgctgaa	agagctgttc	1140
aaagacgaag	tgcgtaagat	tggtctggag	ctgggcctgc	cgtacgacat	gctgtaccgt	1200
catccgttcc	cggggccggg	cċtcggcgta	cgtgtactgg	gtgaagtgaa	gaaagagtac	1260
tgcgacctgt	tgcgccgtgc	tgacgccatc	ttcattgaag	agctgcgtaa	ggcggatctg	1320
tacgacaaag	tcagccaggc	gttcaccgtc	ttcctgccag	tacgctccgt	tggcgtaatg	1380
ggcgatggtc	gtaagtacga	ttgggtggtc	tccctgcgtg	ctgtcgaaac	catcgacttt	1440
atgactgcgc	actgggcgca	tctgccgtat	gacttcctgg	gtcgtgtttc	caaccgcatc	1500
atcaatgaag	tcaacgggat	ttcccgtgtg	gtgtatgaca	tcagcggtaa	accaccggct	1560
accattgagt	gggaataa					1578

<210> 37 <211> 624 <212> ADN <213> Salmonella Paratyphi A 9150

<220>

<221> misc_feature

<223> clpP									
<400> 37									
		agataatttg tgagcgctct				60 120			
cgcgtcatat	ttctgaccgg	ccaggtcgaa	gaccatatgg	ctaacctgat	cgtggcgcag	180			
atgctgttcc	tggaagcgga	aaacccggaa	aaagatatct	atctgtacat	taattctcct	240			
ggcggcgtaa	ttactgcggg	gatctccatc	tatgacacca	tgcagtttat	taagccagac	300			
gtcagcacca	tttgtatggg	acaggcggcc	tctatggggg	cgtttctgct	gactgccggg	360			
gcgaaaggca	aacgtttctg	cttgccgaac	tctcgcgtca	tgatccacca	gccgctgggc	420			
ggctaccagg	gccaggcgac	ggatattgaa	attcacgccc	gcgaaatttt	gaaagtaaaa	480			
gggcgcatga	atgaacttat	ggcgcatcat	acgggtcaat	ctcttgagca	gattgaacgt	540			
gatactgagc	gcgatcgctt	cctctccgcg	cctgaagcgg	tagagtacgg	tttggttgac	600			
tcaattttga	cccatcgtaa	ttga				624			
<210> 38 <211> 1272 <212> ADN <213> Salmonella Paratyphi A 9150									
<220>									
<221> misc_feature									
<223> clpX									
<400> 38									

```
atgacagata aacgcaaaga tggctcgggc aaattgttgt actgctcttt ttgcggcaaa
                                                                       60
agccagcatg aagtgcgcaa gctgattgcc ggtccatccg tgtatatctg cgacgaatgc
                                                                      120
gtcgatttat gtaacgacat tattcgcgaa gaaattaaag aagttgctcc gcaccgtgaa
                                                                      180
cgtagtgcgc tgccgacgcc gcatgaaatt cgtacccacc tggacgatta cgttatcggc
                                                                      240
caggagcagg cgaaaaaagt gctggcggtg gcggtctata accactacaa gcgtctgcgt
                                                                      300
aacggtgata ccagcaatgg cgtcgagtta ggcaaaagca acattctgct gattggaccg
                                                                      360
accggttccg gtaaaacgct gctggcggaa acgctggcgc gcttgctgga tgtgccgttc
                                                                      420
actatggcgg atgcgaccac gctgaccgaa gcgggttacg tgggtgaaga cgtcgagaat
                                                                      480
atcattcaga aactgttgca gaaatgcgac tacgacgtgc aaaaagcgca gcgtgggatt
                                                                      540
gtctacattg atgaaatcga taagatttcg cgtaaatcag acaatccgtc cattacccgc
                                                                      600
gatgtttccg gcgaaggcgt acagcaggcg ttgctgaaac tgatcgaagg caccgtcgcc
                                                                      660
geggttecae egeagggegg tegeaaacat eegeageagg agttettaca ggtagatace
                                                                      720
tctaagattc tgtttatctg cggcggcgcg tttgctggtc tggataaagt gatcgctaac
                                                                      780
cgtgttgaaa ccggctccgg cattggtttt ggcgcgacgg tgaaagcgaa gtccgacaaa
                                                                      840
gccagcgaag gcgagctgtt gtcgcaggtt gaaccggaag atttgatcaa atttggtctg
                                                                      900
attcctgagt ttatcggtcg tctgccagtg gtggcgacgc tgaacgaact cagcgaagaa
                                                                      960
gcgctgattc aaatcctgaa agagccgaaa aatgcgctga ccaagcagta tcaggcgctg
                                                                     1020
tttaacctgg aaggcgtcga tctggaattc cgtgacgaag cgctggacgc tatcgccagg
                                                                     1080
aaagcaatgg cgcgtaaaac cggtgcccgt ggtctgcgtt ctatcgtcga agcggcgctg
                                                                     1140
ctggatacca tgtacgattt gccatctatg gaagacgtcg aaaaagtggt gatcgacgag
                                                                     1200
tccgttattg ccggtcagag taagccgttg ctgatttacg gcaaaccgga agcgcaggct
                                                                     1260
tctggcgaat aa
                                                                     1272
```

<210> 39

<211> 1272

<212> ADN

<213> Salmonella Typhi Ty2

<220>

<221> misc_feature

<223> gen clpX

<400> 39

```
atgacagata aacgcaaaga tggctcgggc aaattgttgt actgctcttt ttgcggcaaa
                                                                       60
agccagcatg aagtgcgcaa gctgattgcc ggtccatccg tgtatatctg cgacgaatgc
                                                                      120
gtcgatttat gtaacgacat tattcgcgaa gaaattaaag aagttgctcc gcaccgtgaa
                                                                      180
cgtagtgcgc tgccgacgcc gcatgaaatt cgtactcacc tggacgatta cgttatcggc
                                                                      240
caggagcagg cgaaaaaagt gctggcggtg gcggtctata accactacaa gcgtctgcgt
                                                                      300
aacggcgata ccagcaatgg cgtcgagtta ggcaaaagca acattctgct gactggaccg
                                                                      360
accggttccg gtaaaacget getggeggaa acgetggege gettgetgga tgtgeegtte
                                                                      420
actatggcgg atgcgaccac gctgaccgaa gcgggttacg tgggggaaga cgtcgagaat
                                                                      480
atcattcaga aactgttgca gaaatgcgac tacgacgtgc aaaaagcgca gcgtgggatt
                                                                      540
gtctacattg atgaaatcga taagatttcg cgtaaatcag acaatccgtc cattacccgc
                                                                      600
gatgtttccg gcgaaggcgt acagcaggcg ttgctgaaac tgatcgaagg caccgtcgcc
                                                                      660
gcggttccac cgcagggcgg tcgcaaacat ccgcagcagg agttcttaca ggtagatacc
                                                                      720
tctaagattc tgtttatctg cggcggcgcg tttgccggtc tggataaagt gatcgctaac
                                                                      780
cgtgttgaaa ccggctccgg cattggtttt ggcgcgacgg tgaaagcgaa gtccgacaaa
                                                                      840
gccagtgaag gcgagctgtt gtcgcaggtt gaaccggaag atttgatcaa atttggtctg
                                                                      900
attectgagt ttateggteg tetgecagtg gtggegaege tgaaegaaet cagegaagaa
                                                                      960
gcgctggttc aaatcctgaa agagccgaaa aatgcgctga ccaagcagta tcaggcgctg
                                                                     1020
tttaacctgg aaggcgtcga tctggaattc cgtgacgaag cgctgaacgc tatcgccagg
                                                                     1080
aaagcgatgg cgcgtaaaac tggtgcccgt ggcctgcgtt ctatcgtcga agcggcgctg
                                                                     1140
ctggatacca tgtacgattt gccatctatg gaagacgtcg aaaaagtggt gattgacgag
                                                                     1200
tccgttattg ccggtcagag taagccgttg ctgatttacg gcaaaccgga agcgcaggct
                                                                     1260
tctggcgaat aa
                                                                     1272
```

<210> 40

<211> 624

<212> ADN

<213> Salmonella Typhi Ty2

<220>

<221> misc_feature

<223> gen clpP

<400> 40

ațgtcataca	gcggagaacg	agataatttg	gcccctcata	tggcgctggt	gccgatggtc	60
attgaacaga	cctcacgcgg	tgagcgctct	tttgatatct	attctcgtct	acttaaggaa .	120
cgcgtcatat	ttctgaccgg	ccaggtcgaa	gaccatatgg	ctaacctgat	cgtggcgcag	180
atgctgttcc	tggaagcgga	aaacccggaa	aaagatatct	atctgtacat	taattctcct	240
ggcggcgtaa	ttactgcggg	gatgtccatc	tatgacacca	tgcagtttat	taagccagac	300
gtcagcacca	tttgtatggg	acaggcggcc	tctatggggg	cgtttctgct	gactgccggg	360
gcgaaaggca	aacgtttctg	cttgccgaac	tctcgcgtca	tgatccacca	gccgctgggc	420
ggctatcagg	gccaggcgac	ggatattgaa	attcacgccc	gcgaaatttt	gaaagtaaaa	480
gggcgcatga	atgaacttat	ggcgcatcat	acgggtcaat	ctcttgagca	gattgaacgt	540
gatactgagc	gcgatcgctt	cctctccgcg	cctgaagcgg	tagagtacgg	tttggttgac	600
tcaattttga	cccatcgtaa	ttga				624

REIVINDICACIONES

- 1. Cepa de Salmonella Paratyphi A atenuada, teniendo dicha cepa una mutación atenuante en los loci *guaBA* y una mutación atenuante en el gen *clpX*.
- 5 **2.** Cepa de *Salmonella* Paratyphi A según la reivindicación 1, caracterizada porque la mutación atenuante en los loci *guaBA* es una mutación atenuante en el gen *guaB* o una mutación atenuante en el gen *guaA* o una mutación atenuante en ambos genes.
- 3. Cepa de *Salmonella* Paratyphi A según la reivindicación 1, caracterizada porque la mutación atenuante en los loci *guaBA* es una mutación atenuante en el gen *guaB* o una mutación atenuante en el gen *guaA* o una mutación atenuante en ambos genes y porque la cepa tiene una mutación atenuante adicional en el gen *clpP*.
 - **4.** Cepa de *Salmonella* Paratyphi A según la reivindicación 1, caracterizada porque dicha mutación atenuante es una mutación atenuante que reduce el nivel de expresión de dichos loci o dichos genes o bloquea la expresión de dichos loci o dichos genes.
- 5. Cepa de Salmonella Paratyphi A según la reivindicación 1, caracterizada porque dicha mutación atenuante es una mutación atenuante que reduce la actividad de un polipéptido codificado por dichos loci o dichos genes o inactiva un polipéptido codificado por dichos loci o dichos genes.
 - 6. Cepa de Salmonella Paratyphi A según la reivindicación 1, caracterizada porque dicha cepa es la cepa S. Paratyphi A 9150.
- Cepa de Salmonella Paratyphi A según la reivindicación 1, caracterizada porque dicha cepa comprende además un sistema de expresión plasmídico estabilizado.
 - **8.** Cepa de Salmonella Paratyphi A según la reivindicación 7, caracterizada porque dicho sistema de expresión plasmídico estabilizado comprende un vector de expresión que comprende:
 - (a) un casete de origen de replicación de número de copias restringido que incluye

25

30

35

- (i) una secuencia de nucleótidos que codifica un origen de replicación que limita el vector de expresión a un número medio de copias plasmídicas de aproximadamente 2 a 75 copias por célula,
- (ii) un primer sitio de corte de enzima de restricción único situado en 5' de la secuencia de nucleótidos que codifica el origen de replicación y
- (iii) un segundo sitio de corte de enzima de restricción único situado en 3' de la secuencia de nucleótidos que codifica el origen de replicación;
- (b) como mínimo un casete de destrucción postsegregacional que incluye
 - (i) una secuencia de nucleótidos que codifica como mínimo un locus de destrucción postsegregacional,
 - (ii) un tercer sitio de corte de enzima de restricción único situado en 5' de la secuencia de nucleótidos que codifica el locus o los loci de destrucción postsegregacional y
 - (iii) un cuarto sitio de corte de enzima de restricción único situado en 3' de la secuencia de nucleótidos que codifica el locus o los loci de destrucción postsegregacional;
- (c) como mínimo un casete de partición que comprende

- (i) una secuencia de nucleótidos que codifica como mínimo una función de partición,
- (ii) un quinto sitio de corte de enzima de restricción único situado en 5' de la secuencia de nucleótidos que codifica la o las funciones de partición y
- (iii) un sexto sitio de corte de enzima de restricción único situado en 3' de la secuencia de nucleótidos que codifica la o las funciones de partición; y
- 45 (d) un casete de expresión que comprende

- (i) una secuencia de nucleótidos que codifica un antígeno seleccionado unido de manera operable a un promotor,
- (ii) un séptimo sitio de corte de enzima de restricción único situado en 5' de la secuencia de nucleótidos que codifica un antígeno seleccionado unido de manera operable a un promotor y
- (iii) un octavo sitio de corte de enzima de restricción único situado en 3' de la secuencia de nucleótidos que codifica un antígeno seleccionado unido de manera operable a un promotor.
- 9. Cepa de Salmonella Paratyphi A según la reivindicación 8, caracterizada porque la secuencia de nucleótidos que codifica un origen de replicación es una secuencia de nucleótidos seleccionada del grupo consistente en la secuencia oriE1 mostrada en SEQ ID nº: 28, la secuencia ori101 mostrada en SEQ ID nº: 30 y la secuencia ori15A mostrada en SEQ ID nº: 29.

5

10

15

- 10. Cepa de Salmonella Paratyphi A según la reivindicación 8, caracterizada porque la secuencia de nucleótidos que codifica como mínimo un locus de destrucción postsegregacional es una secuencia de nucleótidos seleccionada del grupo consistente en una secuencia de nucleótidos que codifica el sistema letal equilibrado ssb, una secuencia de nucleótidos que codifica el sistema letal equilibrado asd, una secuencia de nucleótidos que codifica el sistema proteico phd-doc y una secuencia de nucleótidos que codifica el sistema antisentido hok-sok.
- 11. Cepa de Salmonella Paratyphi A según la reivindicación 10, caracterizada porque el sistema letal equilibrado ssb es un locus ssb seleccionado del grupo consistente en el locus ssb de Shigella flexneri, el locus ssb de Salmonella typhi y el locus ssb de E. coli.
- 20 **12.** Cepa de *Salmonella* Paratyphi A según la reivindicación 10, caracterizada porque el sistema letal equilibrado *ssb* es un locus *ssb* que comprende un promotor inducible de *ssb*, un promotor constitutivo de *ssb* y una región codificadora de *ssb* de la cepa de *S. flexneri* 2a CVD 1208s mostrada en SEQ ID nº: 34.
- Cepa de Salmonella Paratyphi A según la reivindicación 8, caracterizada porque la secuencia de nucleótidos que codifica como mínimo una función de partición es una secuencia de nucleótidos seleccionada del grupo consistente en el locus parA de E. coli mostrado en SEQ ID nº: 31 y el locus pSC101 par de E. coli mostrado en SEQ ID nº: 32.
 - **14.** Cepa de *Salmonella* Paratyphi A según la reivindicación 8, caracterizada porque el promotor (d)(i) es un promotor inducible.
- 15. Cepa de *Salmonella* Paratyphi A según la reivindicación 14, caracterizada porque el promotor (d)(i) es el promotor de *ompC* mostrado en SEQ ID nº: 33.
 - 16. Cepa de Salmonella Paratyphi A según la reivindicación 8, caracterizada porque dicha secuencia de nucleótidos que codifica un antígeno seleccionado (d)(i) es una secuencia de nucleótidos que codifica un antígeno homólogo.
- 17. Cepa de Salmonella Paratyphi A según la reivindicación 8, caracterizada porque dicha secuencia de nucleótidos que codifica un antígeno seleccionado (d)(i) es una secuencia de nucleótidos que codifica un antígeno heterólogo.
 - 18. Cepa de Salmonella Paratyphi A según la reivindicación 8, caracterizada porque dicha secuencia de nucleótidos que codifica un antígeno seleccionado (d)(i) es una secuencia de nucleótidos que codifica un antígeno seleccionado del grupo consistente en un antígeno vírico, un antígeno bacteriano, un antígeno de cáncer y un antígeno autoinmune.
 - **19.** Formulación farmacéutica que comprende la cepa de *Salmonella* Paratyphi A según la reivindicación 1 y un vehículo farmacéuticamente aceptable.
 - **20.** Formulación farmacéutica que comprende la cepa de *Salmonella* Paratyphi A según la reivindicación 7 y un vehículo farmacéuticamente aceptable.
- 45 **21.** Formulación farmacéutica según la reivindicación 19, caracterizada porque dicha formulación farmacéutica es una formulación farmacéutica oral.
 - **22.** Formulación farmacéutica según la reivindicación 20, caracterizada porque dicha formulación farmacéutica es una formulación farmacéutica oral.

- **23.** Formulación farmacéutica según la reivindicación 19 para su uso en un método para inducir en un sujeto una respuesta inmunitaria a una cepa de *Salmonella* Paratyphi A atenuada.
- **24.** Formulación farmacéutica según la reivindicación 20 para su uso en un método para inducir en un sujeto una respuesta inmunitaria a un antígeno seleccionado.
- 5 **25.** Formulación farmacéutica según la reivindicación 23, caracterizada porque dicha respuesta inmunitaria es una respuesta inmunitaria protectora.
 - **26.** Formulación farmacéutica según la reivindicación 24, caracterizada porque dicha respuesta inmunitaria es una respuesta inmunitaria protectora.
- **27.** Formulación farmacéutica según la reivindicación 24, caracterizada porque dicha respuesta inmunitaria es una respuesta inmunitaria al antígeno seleccionado.
 - **28.** Formulación farmacéutica según la reivindicación 24, caracterizada porque dicha respuesta inmunitaria es una respuesta inmunitaria al antígeno seleccionado y una respuesta inmunitaria a la cepa de *Salmonella* Paratyphi A.
- **29.** Formulación farmacéutica según la reivindicación 23, caracterizada porque dicha cantidad inmunológicamente eficaz de la formulación farmacéutica contiene entre aproximadamente 10² cfu y aproximadamente 10¹⁰ cfu de la cepa de *S*. Paratyphi A.
 - **30.** Formulación farmacéutica según la reivindicación 23, caracterizada porque dicha cantidad inmunológicamente eficaz de la formulación farmacéutica contiene entre aproximadamente 10⁶ cfu y aproximadamente 10⁹ cfu de la cepa de S. Paratyphi A.
- 20 **31.** Formulación farmacéutica según la reivindicación 24, caracterizada porque dicha cantidad inmunológicamente eficaz de la formulación farmacéutica contiene entre aproximadamente 10² cfu y aproximadamente 10¹⁰ cfu de la cepa de *S*. Paratyphi A.
- Formulación farmacéutica según la reivindicación 24, caracterizada porque dicha cantidad inmunológicamente eficaz de la formulación farmacéutica contiene entre aproximadamente 10⁶ cfu y aproximadamente 10⁹ cfu de la cepa de S. Paratyphi A.

Figura 1

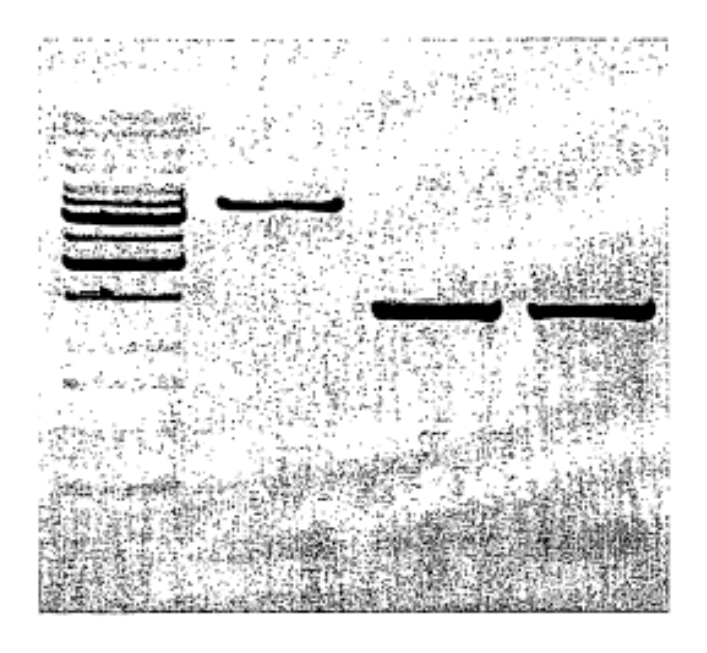


Figura 2

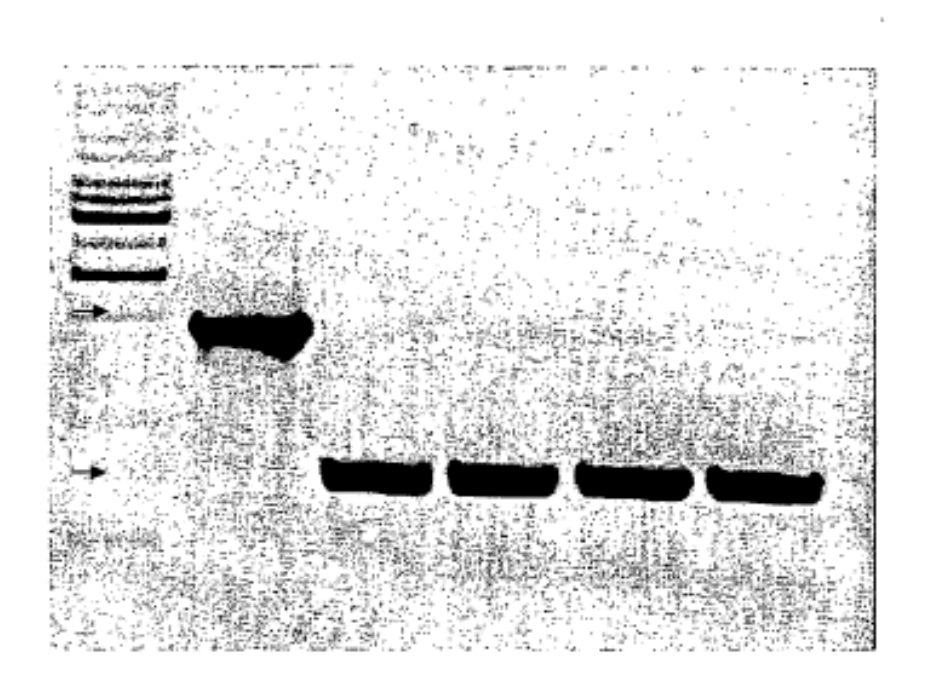


Figura 3

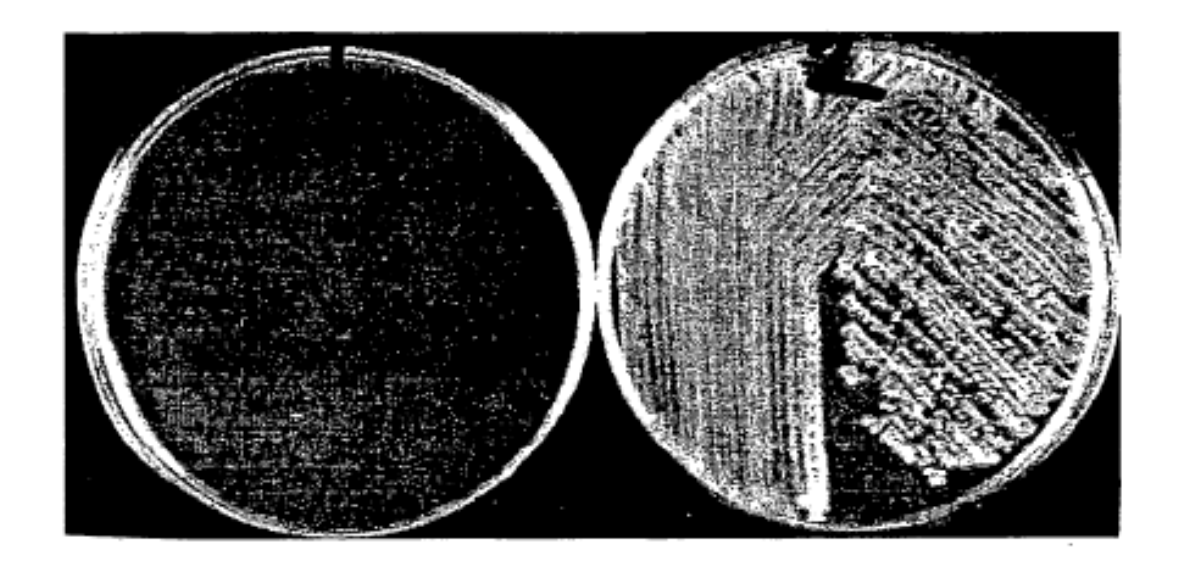


Figura 4

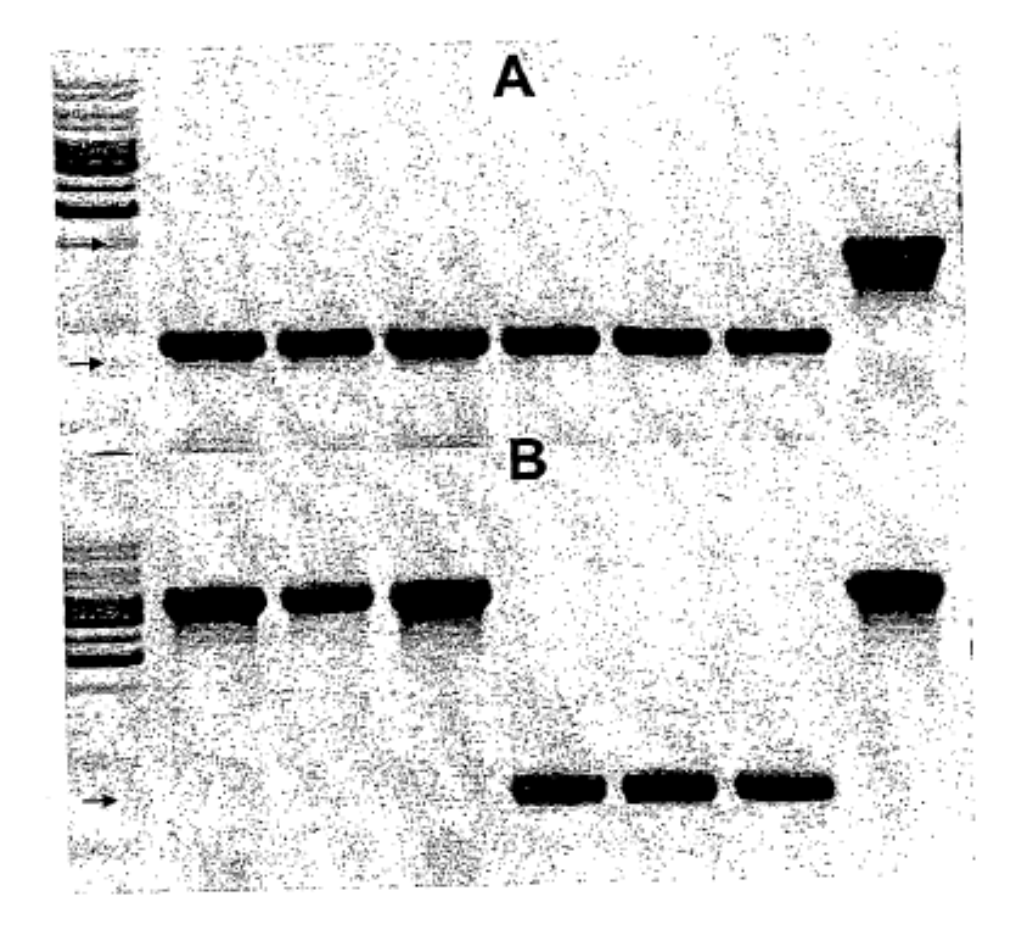
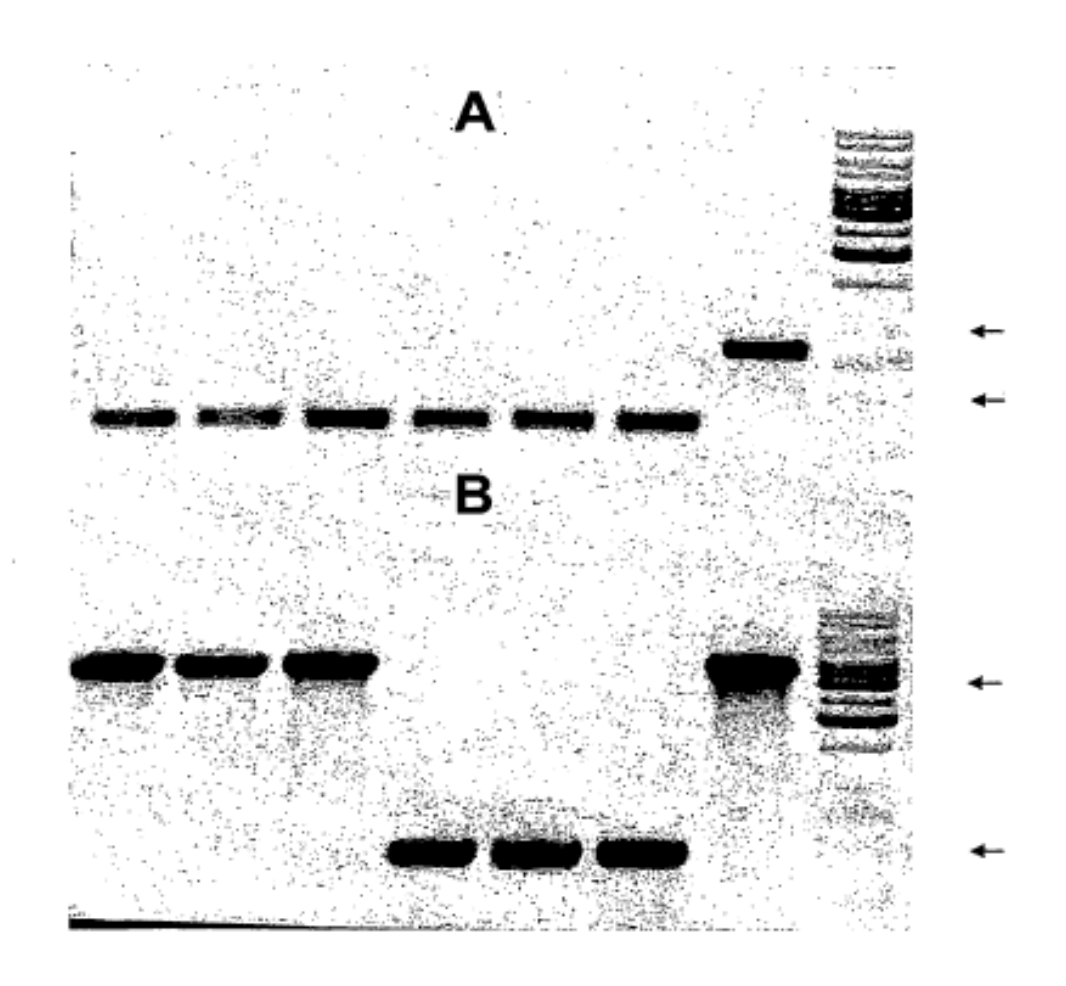


Figura 5



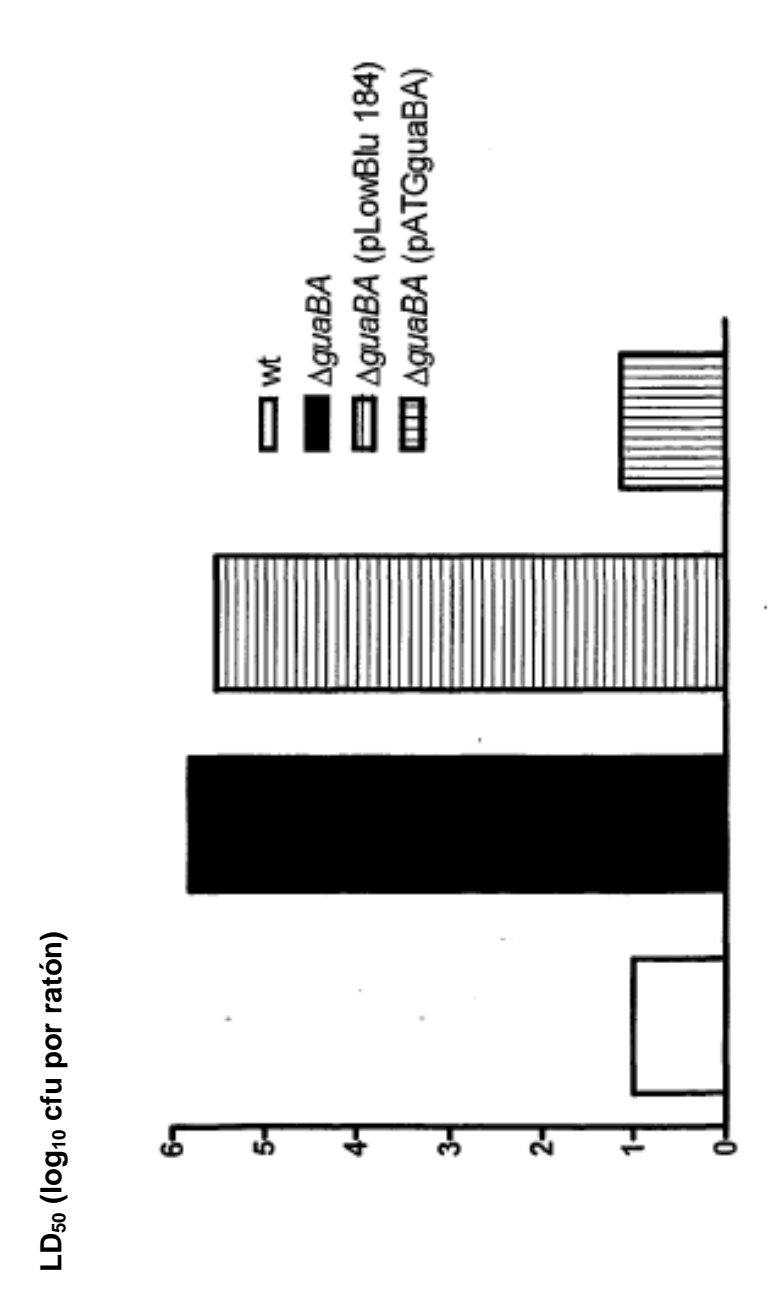


Figura 6

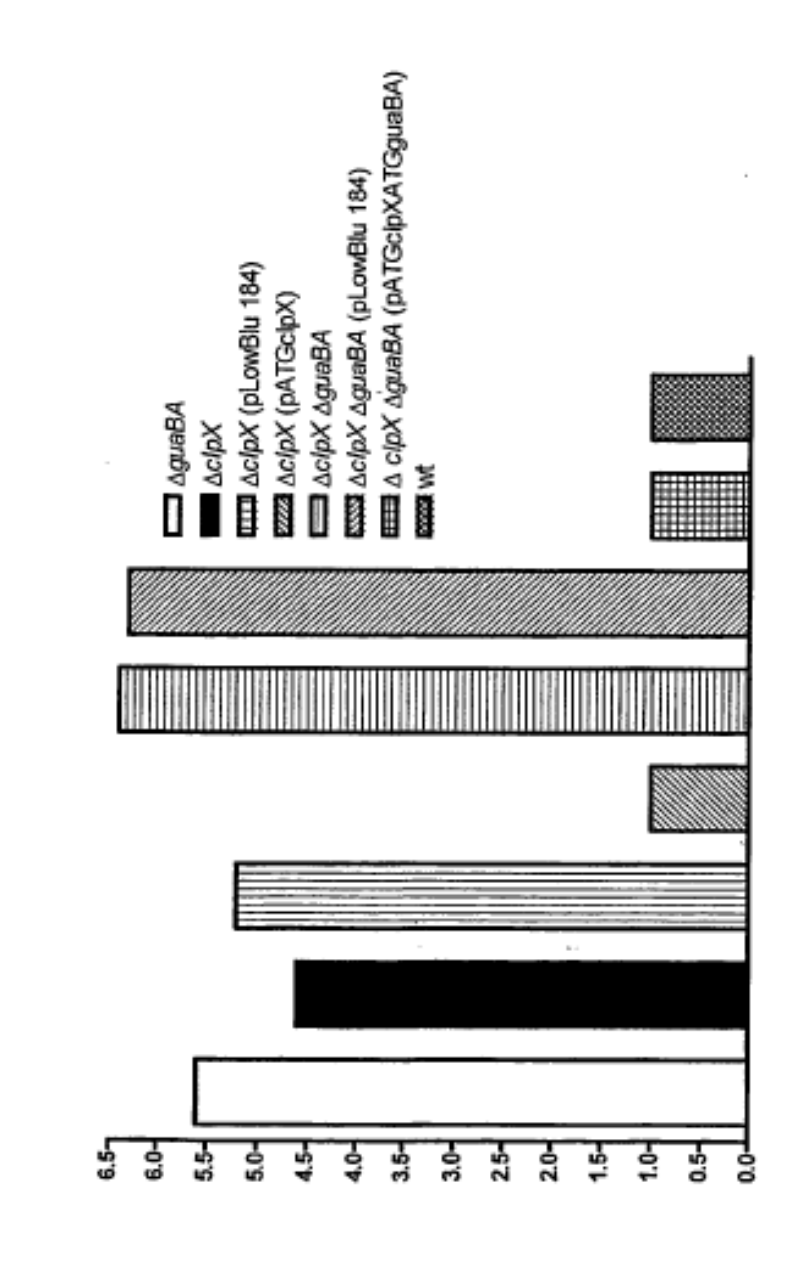


Figura 7

LD₅₀ (log₁₀ cfu por ratón)

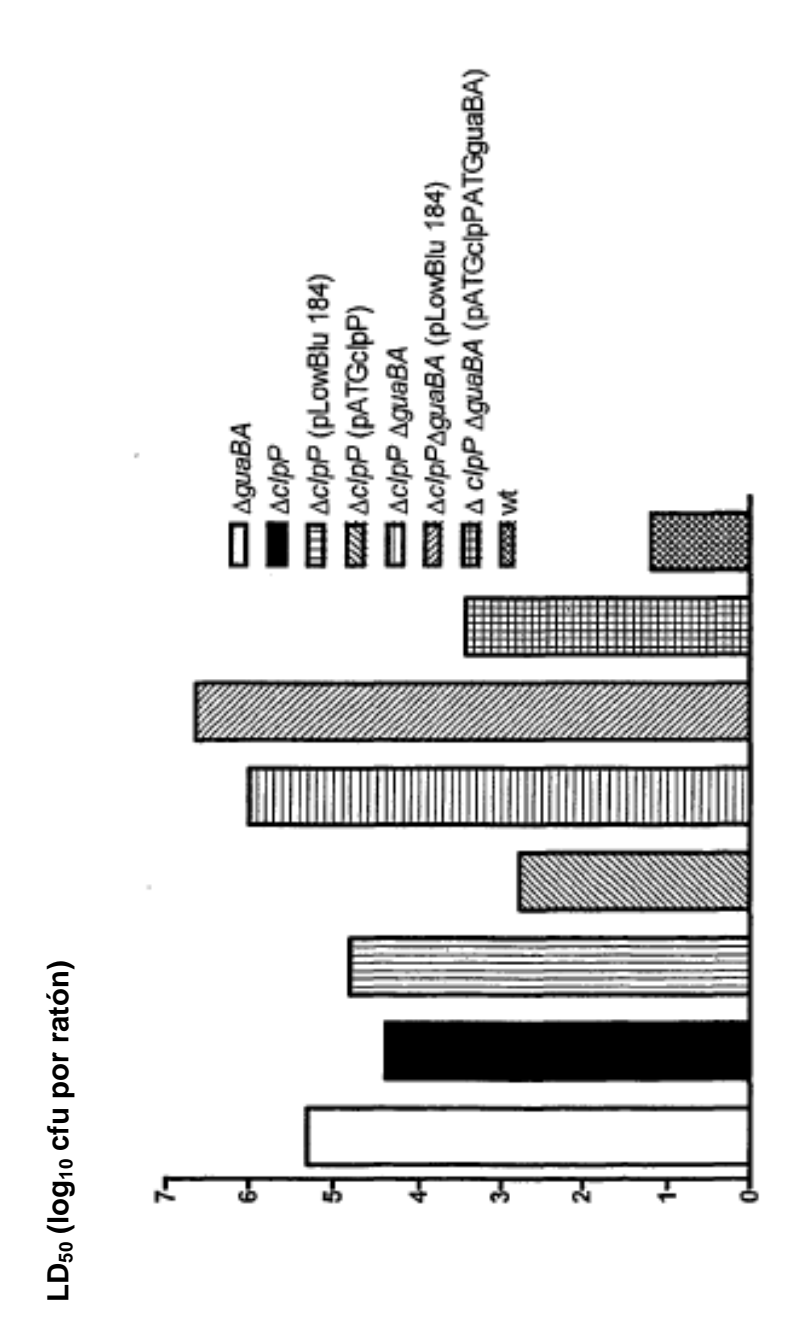


Figura 8